





Presidente da República

Dilma Rousseff

Ministro da Agricultura, Pecuária e Abastecimento

Antônio Andrade

Presidente da Companhia Nacional de Abastecimento

Rubens Rodrigues dos Santos

Diretoria de Política Agrícola e Informações - DIPAI

Sílvio Isopo Porto

Superintendência de Informações do Agronegócio - SUINF

Aroldo Antônio de Oliveira Neto

Gerência de Geotecnologia - GEOTE

Társis Rodrigo de Oliveira Piffer

Superintendências Regionais

Amazonas, Bahia, Espírito Santos, Goiás, Maranhão, Mato Grosso, Mato Grosso do Sul, Minas Gerais,

Pará, Paraíba, Paraná, Pernambuco, Piauí, Rio de Janeiro, Rio Grande do Norte, Rio Grande do Sul,

São Paulo e Tocantins.

Diretor do Instituto Nacional de Meteorologia

Antonio Divino Moura

Coordenação-Geral de Desenvolvimento e Pesquisa - CDP

Lauro Tadeu Guimarães Fortes

Laboratório de Análise e Tratamento de Imagens de Satélite - LATIS

Divino Cristino de Figueiredo





Companhia Nacional de Abastecimento

Diretoria de Política Agrícola e Informações

Superintendência de Informação do Agronegócio

Instituto Nacional de Meteorologia

Coordenação-Geral de Desenvolvimento e Pesquisa

Laboratório de Análise e Tratamento de Imagens de Satélite

Boletim de Monitoramento Agrícola:

Culturas de 2ª safra – safra 2012/2013 –

e de inverno – safra 2013/2014

Volume 2, Números 15 e 16

1ª quinzena

Setembro de 2013

B. monit. agríc., Brasília, v. 2, n. 15 e 16, 1ª quinz. set. 2013, p. 1-34.

Copyright © 2013 – Companhia Nacional de Abastecimento

Qualquer parte desta publicação pode ser reproduzida, desde que citada a fonte.

Disponível em: http://www.conab.gov.br/>

Publicação Quinzenal

Responsáveis Técnicos: Divino Cristino de Figueiredo, Fernando Arthur Santos Lima, Cleverton Tiago Carneiro de Santana, Társis Rodrigo de Oliveira Piffer e André Luiz Farias de Souza.

Normalização: Thelma Das Graças Fernandes Sousa CRB-1/1843, Adelina Maria Rodrigues – CRB-1/1739, Narda Paula Mendes – CRB-1/562,

Catalogação na publicação: Equipe da Biblioteca Josué de Castro

528.8(05)

C743b Companhia Nacional de Abastecimento.

Boletim de monitoramento agrícola / Companhia Nacional de Abastecimento; Instituto Nacional de Meteorologia. – v. 2, n. 15 e 16 (2013 -) – Brasília : Conab, 2013-

v. 2

Quinzenal

A partir do v. 2, n. 3 o Instituto Nacional de Meteorologia passou participar como coautor.

Disponível também em: http://www.conab.gov.br

1. Sensoriamento remoto. 2. Safra. I. Instituto Nacional de Meteorologia. II. Título.

Companhia Nacional de Abastecimento
Gerência de Geotecnologia – GEOTE
SGAS Quadra 901 Bloco A Lote 69. Ed. Conab – 70390-010 – Brasília – DF
(061) 3312-6236
http://www.conab.gov.br/ geote@conab.gov.br
Distribuição gratuita

SUMÁRIO

Resu	ımo Executivo	2
1.	Introdução	3
2.	Regiões monitoradas	3
3.	Esclarecimento sobre os recursos utilizados no monitoramento	4
4.	Monitoramento por região	6
4.1.	Noroeste do Rio Grande do Sul	6
4.2.	Centro Ocidental do Rio Grande do Sul	8
4.3.	Oeste Paranaense	10
4.4.	Norte Central Paranaense	12
4.5.	Sudoeste Paranaense	14
4.6.	Norte Pioneiro Paranaense	16
4.7.	Centro Oriental Paranaense	18
4.8.	Centro Ocidental Paranaense	20
4.9.	Centro-Sul Paranaense	22
4.10.	Nordeste Baiano	24
4.11.	Sertão Sergipano	26
4.12.	Agreste Sergipano	28
5.	Mapas e gráficos de dados climáticos	30
6.	Conclusões	33
7.	Fontes de dados e de informações	33
Nota	técnica - Fundamentos do monitoramento com base em imagens de satélites	34

Resumo Executivo

O presente boletim constitui um dos produtos de apoio às estimativas de safras, análise de mercado e gestão de estoques da Companhia Nacional de Abastecimento (Conab). Por ser público o boletim é utilizado também pela comunidade do agronegócio. O enfoque consiste no monitoramento das culturas de 2ª safra, e também culturas de inverno, tomando por base informações extraídas de imagens de satélite do período de 13 a 28 de agosto de 2013, dados meteorológicos atuais e prognóstico de probabilidade de chuva.

O propósito é avaliar o estado atual de desenvolvimento das lavouras em função das condições climáticas recentes, a fim de auxiliar na pronta estimativa da produtividade das culturas nas principais regiões produtoras.

Foram monitoradas as 9 mesorregiões mais representativas no plantio do trigo, cobrindo em torno de 84% do trigo nacional, situadas nos estados do RS e PR. O monitoramento do milho safrinha ficou restrito ao estado do Paraná e em 3 mesorregiões do Nordeste, tendo em vista que nas demais regiões as colheitas estão praticamente concluídas.

No Rio Grande do Sul, as culturas de cobertura e também os cultivos de inverno, apresentam bom padrão de IV devido às condições climáticas favoráveis. As geadas no final de julho e agosto pouco afetaram as culturas de inverno. Geadas em agosto podem ter provocado algum efeito negativo, por menor que seja, nas lavouras em fases vulneráveis a este evento climático. O potencial de produtividade é bom.

Nas mesorregiões localizadas no sul e oeste do Paraná as chuvas contribuíram no desenvolvimento das lavouras de 2ª safra e de inverno que mantiveram dentro da normalidade até o final de julho. Porém, geadas em várias regiões do estado, que ocorreram com mais intensidade nos dias 24 e 25 de julho e também em agosto, afetaram as lavouras principalmente os cultivos de inverno que estavam em floração/frutificação. O café e pastagens também tiveram consideráveis penalizações. O milho safrinha, que está praticamente todo colhido, não deverá ser muito afetado, exceto pela queda de qualidade devido ao alto percentual de grãos ardidos em decorrência do excesso de chuvas em junho.

Chuvas escassas desde fevereiro penalizaram bastante o desenvolvimento da vegetação de modo geral, no Nordeste brasileiro. Porém, em maio, junho até o final de julho os índices pluviométricos foram razoáveis, influenciando positivamente o desenvolvimento das lavouras nas mesorregiões do Nordeste Baiano, do Agreste e do Sertão de Sergipe. Porém, chuvas escassas no Sertão Sergipano podem ter reduzido o potencial de produtividade agrícola nesta região.

1. Introdução

O presente boletim constitui um dos produtos de apoio às estimativas de safras, análise de mercado e gestão de estoques da Companhia Nacional de Abastecimento (Conab). O boletim é público sendo utilizado também pela comunidade do agronegócio em geral. O enfoque consiste no monitoramento dos cultivos de 2ª safra, como o milho safrinha e o algodão e nesta edição o monitoramento está focado principalmente nas lavouras de inverno. A base de informações para o monitoramento é obtida a partir de imagens de satélites e dados meteorológicos. O propósito é avaliar o estado atual de desenvolvimento das lavouras em decorrência das condições climáticas recentes a fim de auxiliar na pronta estimativa da produtividade agrícola nas principais regiões produtoras.

A estimativa da Conab, (julho/2013, 10° levantamento), é de que o Brasil plantou 8.951.100 hectares de milho de 2ª safra, 895.000 hectares de algodão e 2.261.000 hectares de culturas de inverno.

Os recursos técnicos utilizados para análise das condições das lavouras têm origem em duas fontes de dados: a) monitoramento agrícola com base em Índice de Vegetação (**IV**) extraídos de imagens de satélites do período de 13 a 28 de agosto de 2013 (veja descrição e fundamentos técnicos ao final do boletim); b) dados meteorológicos atuais e prognóstico de probabilidade de chuva.

2. Regiões monitoradas

O foco principal desta edição são as culturas de inverno e de cobertura nos estados do Paraná e Rio Grande do Sul. Assim, foram monitoradas as 9 principais mesorregiões no cultivo do trigo nestes 2 estados. Tendo em vista o encerramento da 2ª safra, em especial do milho safrinha, nos estados do Mato Grosso, Goiás e Mato Grosso do Sul o presente boletim cobre somente 5 mesorregiões onde pelo menos parte desta cultura ainda está em fases vulneráveis a efeitos climáticos: duas são do Paraná, uma da Bahia e duas do Sergipe.

Este universo agrícola garante boa representatividade no monitoramento de todos os cultivos que se encontram nas fases de desenvolvimento, floração e enchimento de grãos. (Tabela 1).

	MILHO 23 SA	FRA	
Seq	Mesorregião	Área(ha)	%Meso/Brasil
1	Oeste Paranaense - PR	919.109	10,25
2	Norte Central Paranaense - PR	596.803	6,66
3	Nordeste Baiano - BA	437.822	4,88
4	Sertão Sergipano - SE	164.003	1,83
5	Agreste Sergipano - SE	89.399	1,00
	Total 5 Mesorregiões	2.207.136	24,6
	Brasil	8.963.700	100
	Fonte:IBGE/CC	NAB	

Tabela 1 – Principais regiões produtoras de milho 2ª safra e trigo.

	TRIGO		
Seq	Mesorregião	Área(ha)	%Meso/Brasi
1	Noroeste Rio-grandense - RS	708.346	33,9
2	Norte Central Paranaense - PR	216.849	10,4
3	Oeste Paranaense - PR	150.499	7,2
4	Sudoeste Paranaense - PR	144.415	6,9
5	Norte Pioneiro Paranaense - PR	139.378	6,7
6	Centro Oriental Paranaense - PR	135,796	6,5
7	Centro Ocidental Paranaense - PR	112.163	5,4
8	Centro-Sul Paranaense - PR	78,692	3,8
9	Centro Ocidental Rio-grandense - RS	71.653	3,4
	Total 9 Mesorregiões	1.757.790	84,1
	Brasil	2.089.700	100
	Fonte:IBGE/CONAE	3	

3. Esclarecimento sobre os recursos utilizados no monitoramento

Os recursos que servem de base nas análises das condições das áreas agrícolas, são apresentados nos seguintes formatos:

a) Mapas de anomalias do índice de vegetação das lavouras de grãos - Mostram as diferenças no desenvolvimento das lavouras da safra atual em relação à média histórica dos últimos 13 anos. Nestes mapas as anomalias do Índice de Vegetação são calculadas a partir de imagens de satélite. Os limites e nomes dos municípios usados nestes mapas são da malha municipal do IBGE. Para a geração dos mapas são utilizadas máscaras de cultivos que têm por finalidade direcionar o monitoramento somente para as áreas de uso agrícola. Desta forma somente áreas cultivadas são coloridas nos mapas. As áreas em tons de verde indicam potencial de desenvolvimento das lavouras superior ao normal. Os tons em amarelo, vermelho e marrom são culturas com desenvolvimento inferior ao normal. Porém, estes tons de cores podem também corresponder às áreas destinadas ao plantio, mas não utilizadas na presente safra ou ainda pela substituição de cultivares de ciclos diferentes.

Fonte: USDA / NASA / UMD - Projeto GLAM - http://pekko.geog.umd.edu/usda/test. O ajuste geométrico das imagens à malha municipal e formatação dos mapas são realizados pelo INMET e Conab.

b) Gráficos da quantificação de unidades de área (pixel) das imagens, em função de seus valores do IV - Estes gráficos, (denominados histogramas), também produzidos com dados de satélite, mostram a situação das lavouras da safra atual, da safra anterior e da média histórica, todas neste mesmo período de monitoramento (13 a 28 de agosto) dos respectivos anos. O eixo vertical do gráfico representa a quantidade (%) de pixels (cada pixel corresponde a uma área de terreno de 250m X 250m) e no eixo horizontal são indicados os valores de IV. Nestes gráficos, o posicionamento da curva mais para a direita, (maiores valores de IV), indica melhores condições de desenvolvimento das lavouras no período. Os dados que dão origem a estes gráficos são utilizados para o cálculo ponderado a fim de se estimar os percentuais de anomalias entre os anos-safra.

Fonte: USDA / NASA / UMD - Projeto GLAM - http://pekko.geog.umd.edu/usda/test.

c) Gráficos da evolução temporal do desenvolvimento das lavouras - Também produzidos a partir de imagens, mostram o comparativo da safra atual em relação à média histórica e à safra passada. No eixo vertical são indicados os valores de Índice de Vegetação alcançados pelas lavouras durante os ciclos das culturas. Ao longo do eixo horizontal consta o período que cobre o ciclo completo das culturas. Nas fases de desenvolvimento da planta, floração e enchimento de grãos as lavouras apresentam um IV crescente atingindo o pico mais alto de valores que ocorre um pouco antes da fase de maturação. As curvas mais altas indicam maior potencial de produtividade da cultura.

Monitoramento agrícola, Brasília, v. 2, n. 15 e 16, 1ª quinzena, setembro/2013

No período de germinação, as áreas cultivadas apresentam baixas respostas de IV, por essa razão, o ponto onde se inicia a ascensão nos gráficos indica a fase do desenvolvimento vegetativo da planta com começo de cobertura foliar, que acontece algumas semanas após o plantio, variando de acordo com a cultura. Quando a curva começa a declinar tem-se o início da maturação das cultuas.

A linha amarela vertical, existente nos gráficos, indica o final do último período monitorado.

Nota: No rodapé destes gráficos consta uma tabela com as fases das culturas que são identificadas por: P = plantio, G = germinação, DV = desenvolvimento vegetativo, F = floração, EG = enchimento de grão; M = Maturação e C = colheita. Nesta tabela constam também percentuais da evolução do IV relativos à média histórica e à safra anterior.

Fonte: USDA / NASA / UMD - Projeto GLAM – http://pekko.geog.umd.edu/usda/test. Formatação: LATIS.

d) **Gráficos de chuva acumulada** – Mostram, em gráficos de barra, os volumes diários de chuva no período do monitoramento. Pequeno losango no eixo horizontal significa que não há registro do dado de chuva naquele dia.

Fonte: INMET - Instituto Nacional de Meteorologia – www.inmet.gov.br.

e) Mapas climáticos - São mapas das condições climáticas registradas recentemente.

Fontes: INMET - Instituto Nacional de Meteorologia – www.inmet.gov.br.

f) **Mapa de previsão climática** – Trata-se de mapa de prognóstico de probabilidade de chuva em regiões do território nacional.

Fonte: INMET - Instituto Nacional de Meteorologia – www.inmet.gov.br.

4. Monitoramento por região

A seguir são apresentados os resultados para cada região monitorada.

4.1. Noroeste do Rio Grande do Sul

Nesta mesorregião são plantados cerca de 34% do trigo no país.

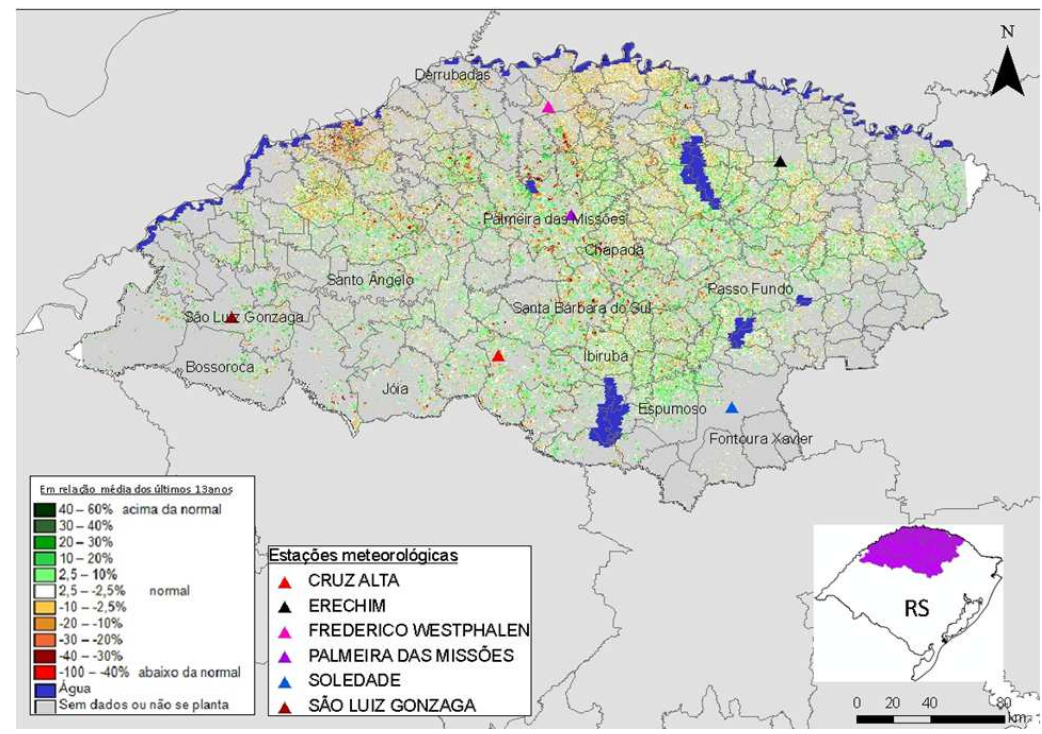


Figura 1 – Mapa de anomalia do IV em relação à média histórica, no Noroeste do Rio Grande do Sul.

As lavouras apresentam no momento resposta de IV levemente superior à média histórica. Isso é retratado no mapa acima pelo pequeno predomínio dos tons de verde em relação às demais cores. Esta resposta corresponde aos cultivos de inverno tais como trigo, aveia e canola semeados principalmente em junho e também às culturas de cobertura tais como aveia preta e nabo forrageiro semeadas após a colheita das culturas de verão.

Tabela 2 – Principais municípios em área de trigo no Noroeste do RS.

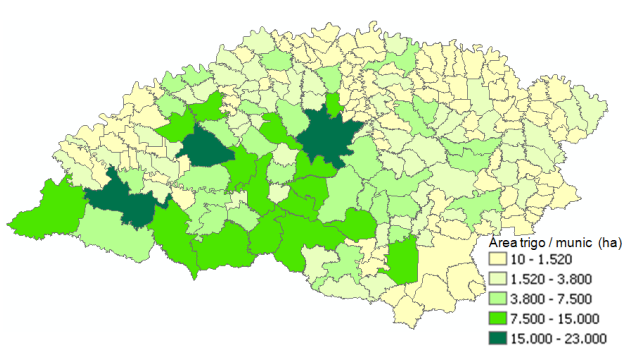
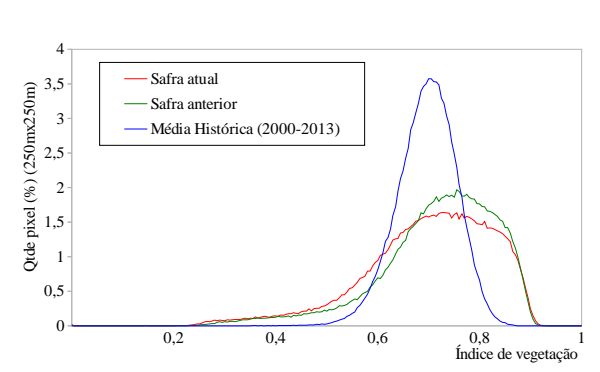


Figura 2 – Distribuição da área de trigo no Noroeste do RS.

Município	%/Meso
Giruá	3,8
São Luiz Gonzaga	3,8
Palmeira das Missões	3,0
São Miguel das Missões	2,5
Espumoso	2,0
Ibirubá	2,0
Jóia	2,0
Pejuçara	1,8
Catuípe	1,6
ljuí	1,6
Santa Rosa	1,6
Três de Maio	1,6
Fonte: IBGE	



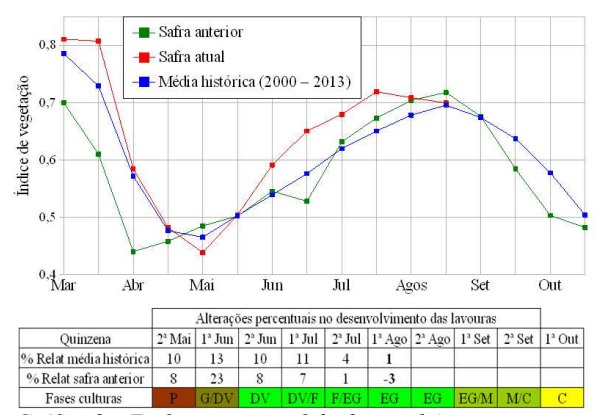


Gráfico 1- Quantificação de áreas pelo valor do IV.

Gráfico 2 – Evolução temporal do desenvolvimento das lavouras do Noroeste do RS.

Ponderação: A linha da safra atual no gráfico de quantificação de áreas, mostra que parte das lavouras apresenta valores de IV acima e parte abaixo da média. Em relação à safra passada, as culturas da atual safra apresentam padrões de desenvolvimento um pouco inferior. Cálculo ponderado: 0,6% **acima** da média histórica e 2,6% **abaixo** da safra anterior.

Histórico: A linha da média histórica no gráfico da evolução temporal traça o perfil das culturas de cobertura/forrageiras e de inverno no Noroeste do RS. Os cultivos de cobertura que são utilizados como pastagem são plantados mais cedo a fim de se ter melhor aproveitamento. Os de inverno, principalmente o trigo, são semeados em maio e junho quando ocorre a germinação. Em junho já se constata boa cobertura vegetal, seguida pelas fases de floração e enchimento de grão que chega ao pico em meados de agosto. A partir daí inicia a maturação seguida das colheitas que finalizam em outubro.

Safra atual: No gráfico 2, a linha vermelha correspondente à safra atual, mostra que cultivos de inverno e culturas de cobertura apresentaram boa evolução do IV desde maio. A queda no final da linha pode ser em decorrência de dessecagem de áreas destinadas a novos plantios e possivelmente algum efeito de geadas em algumas partes da região, principalmente nas culturas de cobertura que estavam em estágio mais adiantado. O potencial de rendimento agrícola é bom.

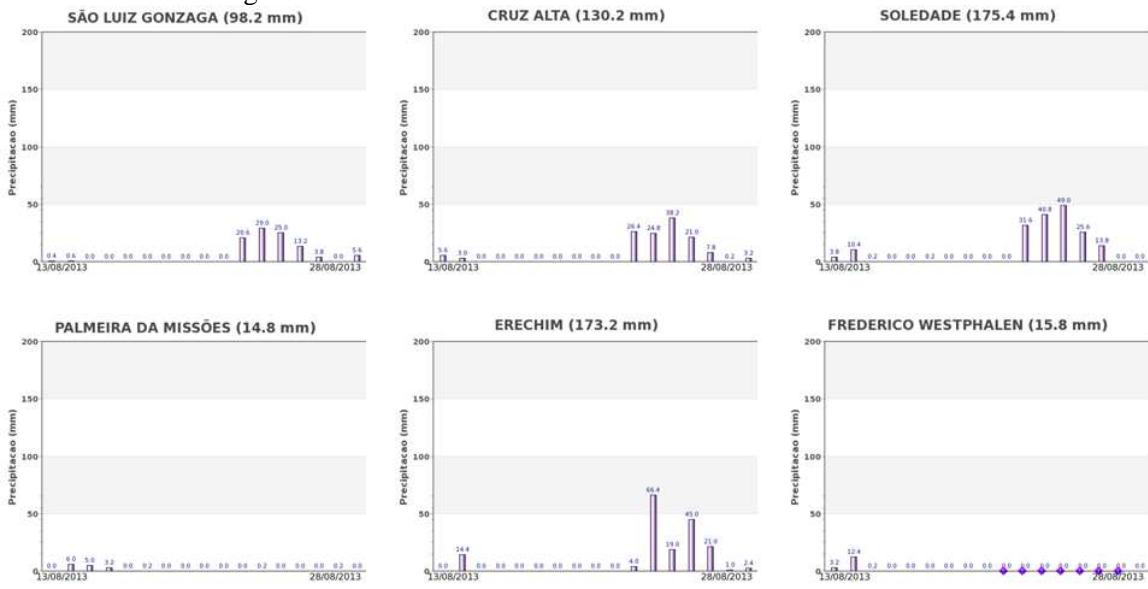


Gráfico 3 - Chuva acumulada diária, no período de 13 a 28 de agosto, no Noroeste do RS.

Pelo menos 4 das estações meteorológicas da região registraram altos volumes de chuva no período do monitoramento. Ao que tudo indica a disponibilidade hídrica tem sido suficiente para as lavouras atuais.

4.2. Centro Ocidental do Rio Grande do Sul

Nesta mesorregião são plantados cerca de 3,4% do trigo no país.

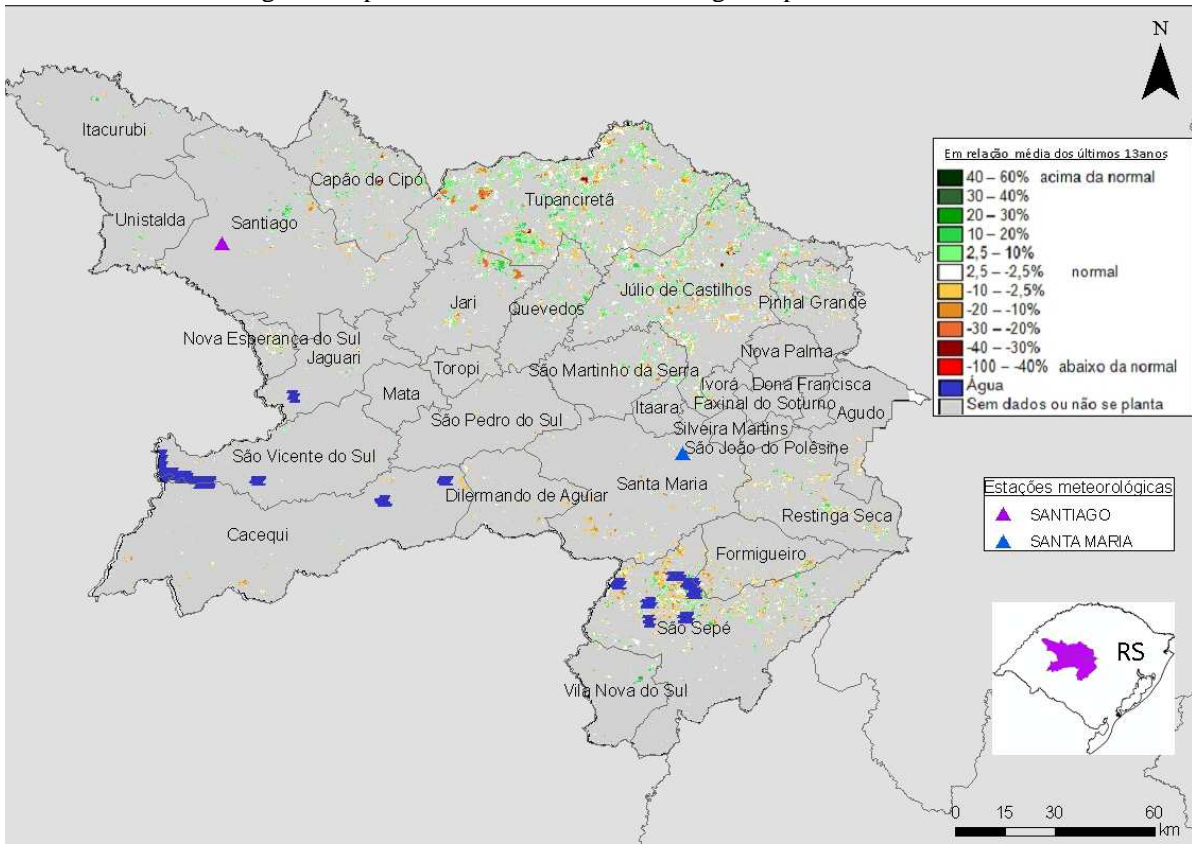


Figura 3 – Mapa de anomalia do IV em relação à média histórica, no Centro Ocidental do Rio Grande do Sul.

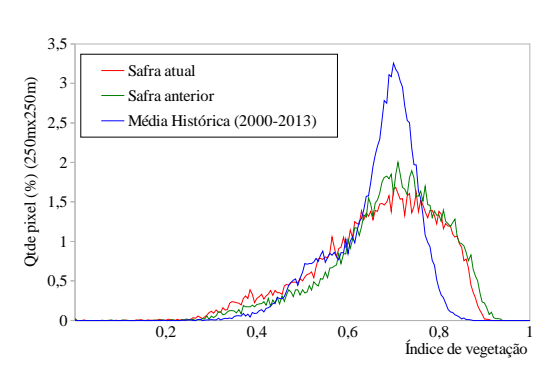
As culturas de cobertura (principalmente a aveia preta), semeadas após a colheita das culturas de verão e as culturas de inverno (em especial o trigo) que estão em desenvolvimento apresentam no momento resposta de IV bem próxima à da média histórica. Isto é retratado pelo equilíbrio dos tons de cores no mapa acima.



Tabela 3 – Principais municípios em área de trigo no Centro Ocidental do RS.

Município	%/Meso	
Tupanciretã	29	
Capão do Cipó	19	
Júlio de Castilhos	17	
Jari	6	
São Martinho da Serra	5	
Santiago	5	
São Sepé	3	
Cacequi	3	
Itacurubi	3	
Pinhal Grande	3	
Quevedos	2	
Fonte: IBGE		

Figura 4 – Distribuição da área de trigo no Centro Ocidental do RS.



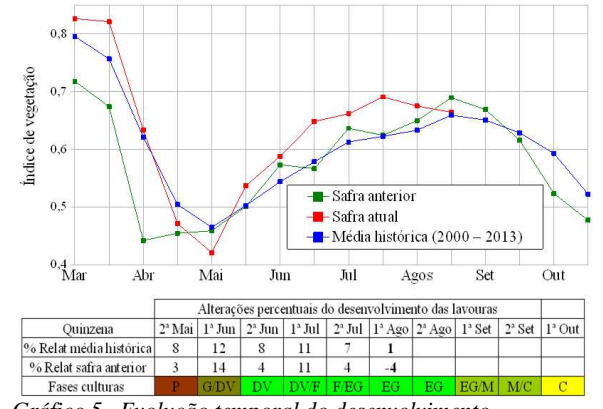


Gráfico 4- Quantificação de áreas pelo valor do IV.

Gráfico 5– Evolução temporal do desenvolvimento das lavouras do Centro Ocidental do RS.

Ponderação: A linha da safra atual no gráfico de quantificação de áreas, mostra que parte das lavouras apresentam valores de IV acima e parte abaixo da média. As culturas de cobertura e cultivos de inverno apresentam padrões de desenvolvimento inferior ao da safra do ano passado. Cálculo ponderado: 0,8% **acima** da média histórica e 3,7% **abaixo** da safra anterior.

Histórico: A linha da média histórica no gráfico da evolução temporal traça o perfil das culturas de cobertura e de inverno no Centro Ocidental do RS. As de inverno são semeadas principalmente em maio quando ocorre a germinação. Em junho já se constata alguma cobertura vegetal, seguida pelas fases de floração e enchimento de grão que chega ao pico em meados de agosto. A partir daí inicia a maturação seguida das colheitas que finalizam em outubro. Como no Noroeste do estado, nesta região o calendário agrícola dos cultivos atuais é também amplo e diversificado, iniciando em abril e finalizando somente no início da safra de verão em outubro.

Safra atual: No gráfico 5, a linha vermelha correspondente à safra atual, mostra que as culturas de coberturas e os cultivos de inverno, apresentaram bom padrão de desenvolvimento até julho. A queda do trecho final da linha pode representar moderado efeito da onda de frio que atingiu a região no final de julho. Áreas dessecadas contribuem também para a queda do IV. De qualquer forma ainda é bom o potencial de produtividade agrícola da região.

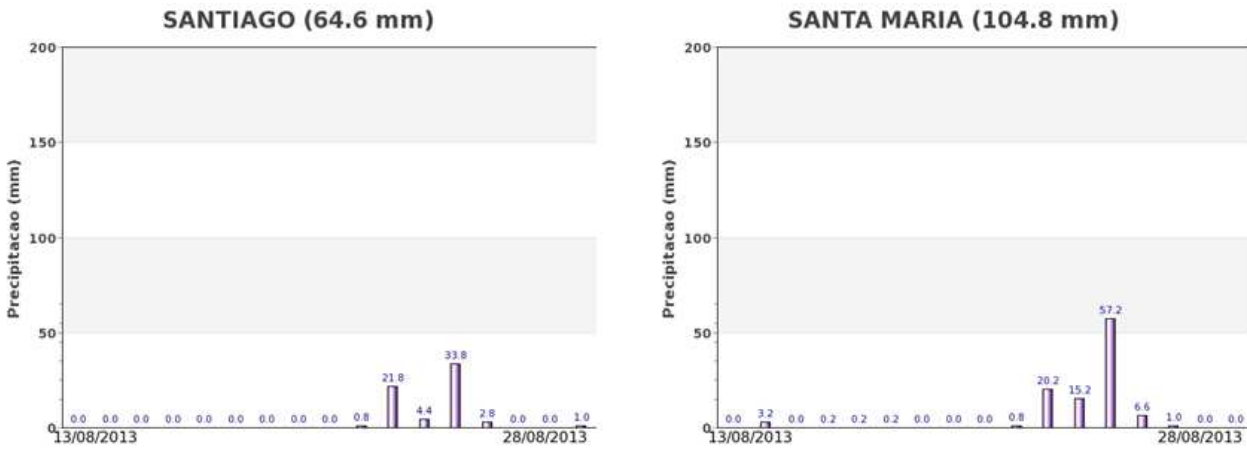


Gráfico 6 - Chuva acumulada diária no Centro Ocidental do RS

Os volumes de chuva registrados pelas estações meteorológicas da região no período do monitoramento tem garantido disponibilidade hídrica suficiente para o bom desenvolvimento das lavouras atuais, especialmente dos cultivos de inverno.

4.3. Oeste Paranaense

Esta mesorregião planta aproximadamente 10% do milho safrinha do país onde são cultivados também 7% trigo nacional.

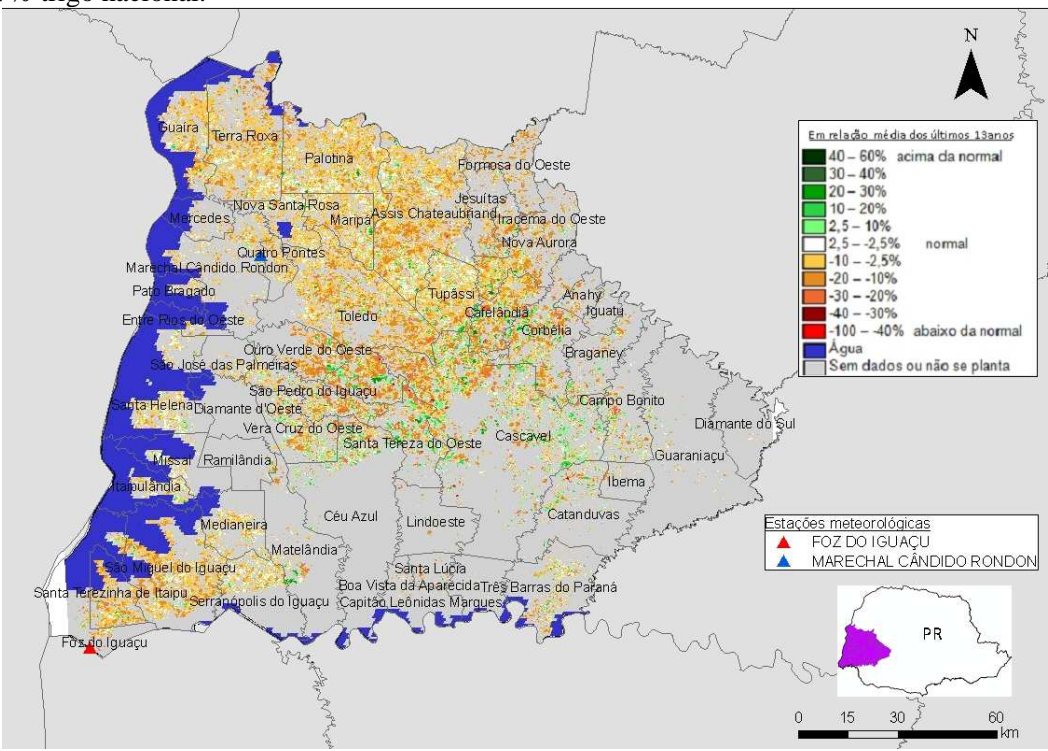


Figura 5 – Mapa de anomalia do IV das lavouras de grãos, em relação à média histórica, no Oeste do Paraná.

O predomínio das cores amarelo, laranja e marrom no mapa acima, caracteriza mudanças em anos mais recentes para cultivares de ciclo curto na região. Em anos anteriores, nesta época do ano, a maior parte das lavouras apresentavam ainda forte atividade fotossintética (altos valores de IV). Na safra atual, grande parte das lavouras de 2ª safra já foram colhidas, portanto, com baixos valores de IV, implicando parcialmente na anomalia negativa. Outro fato que também levou a anomalia negativa no mapa, foi o efeito prejudicial ao trigo e demais cultivos de inverno provocado pelas geadas do final de julho e também em agosto, por estarem em fases suscetíveis ao clima. Desta forma terão queda do potencial produtivo. As áreas em tons de verde são de cultivos de inverno que foram menos afetadas. O milho safrinha, praticamente todo colhido, apresentou durante todo o ciclo, bom potencial de produtividade.

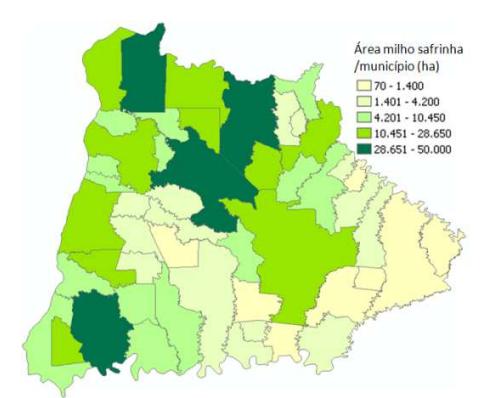
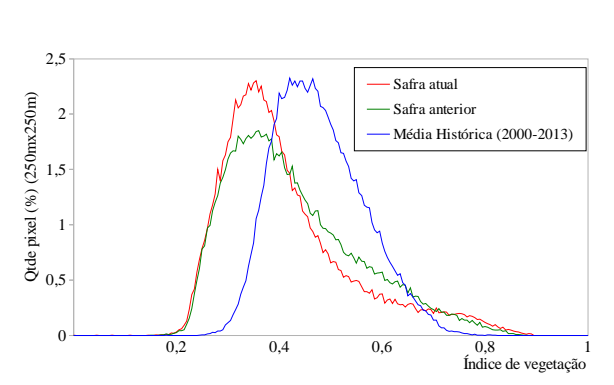


Tabela 4 – Principais municípios em área de milho safrinha no Oeste do PR.

Figura 6 – Distribuição da área de milho safrinha no Oeste do PR.

Municipio	%/Meso
Assis Chateaubriand	10,1
São Miguel do Iguaçu	8,9
Terra Roxa	8,0
Toledo	7,8
Palotina	5,8
Santa Helena	4,9
Guaíra	4,8
Tupãssi	3,6
Marechal Cândido Rondon	3,2
Nova Aurora	3,2
Maripá	3,0
Santa Terezinha de Itaipu	2,9
Missal	2,8
Cascavel	2,7
Nova Santa Rosa	2,1
Santa Tereza do Oeste	2,0
Fonte: IBGE	



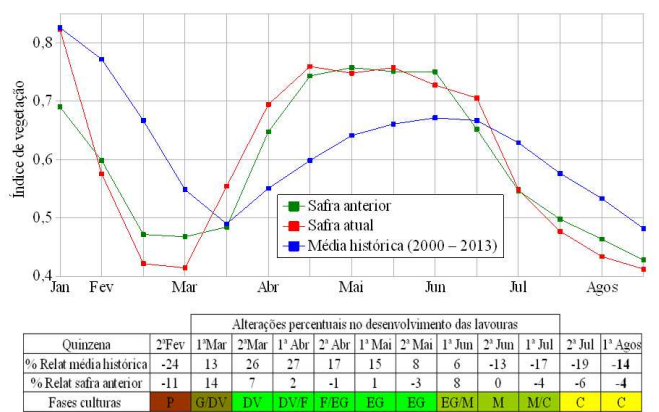


Gráfico 7- Quantificação de áreas agrícolas pelo valor do IV

Gráfico 8 – Evolução temporal do desenvolvimento das lavouras no Oeste do PR.

Ponderação: A linha da safra atual bem deslocada para a esquerda, no gráfico de quantificação de áreas, mostra que boa parte das lavouras apresenta valores de IV inferiores aos da média histórica. Parte desta quantidade de lavouras são principalmente de milho 2ª safra que está em maturação e colheita. Outra parcela destas lavouras com baixa resposta de IV são de cultivos de inverno afetadas pelas geadas no final de julho e em agosto. O gráfico indica ainda que as lavouras da safra atual respondem um pouco abaixo da safra anterior. Cálculo ponderado: 14,5% **abaixo** da média histórica e 3,6% **abaixo** da safra passada.

Histórico: A linha da média histórica no gráfico da evolução temporal traça o perfil das culturas de 2ª safra e de inverno no Oeste do PR. O 1º trecho descendente corresponde às fases de maturação e colheita da soja que se encerra em março. A elevação da direita corresponde aos cultivos de 2ª safra e de inverno com plantio em março e colheita em julho e agosto.

Nota: A linha da safra anterior retrata bem a tendência dos últimos anos quanto ao aumento anual de cultivos do milho 2ª safra. A queda da linha em janeiro e fevereiro indica maturação e colheita da soja precoce e, a expressiva ascensão ainda em março mantendo-se bem acima da média histórica, caracteriza o aumento das áreas de 2ª safra e também o bom padrão de desenvolvimento das lavouras. Esta linha indica que as colheitas terminarão em julho.

Safra atual: No gráfico 8, a linha vermelha correspondente à safra atual, mostra que a partir de março o milho safrinha, seguido dos cultivos de inverno, progrediram em ampla ascensão. O gráfico indica que o calendário agrícola deste ano foi um pouco antecipado, desta forma a queda da linha vermelha, na última quinzena de junho, indica maturação das lavouras. Os últimos segmentos da linha vermelha situados abaixo das safras passadas indicam o efeito negativo das geadas, ocorridas na região no final de julho e no mês de agosto, sobre os cultivos de inverno e de cobertura que, nesta época do ano, estavam em fases vulneráveis a este evento climático.

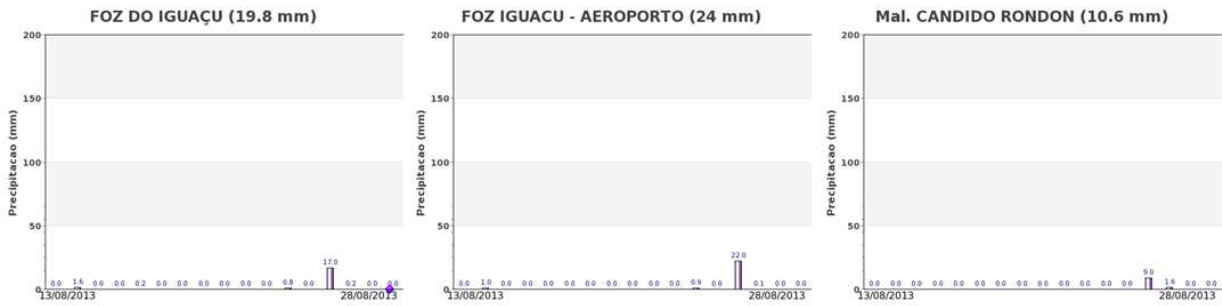


Gráfico 9 - Chuva acumulada diária em estações meteorológicas no Oeste do PR.

Os registros de estações meteorológicas no Oeste do PR mostram baixos volumes de chuva no período do monitoramento. Esta situação pode não atender suficientemente a demanda hídrica de lavouras que ainda necessitam de água.

4.4. Norte Central Paranaense

Nesta mesorregião são plantados cerca de 10% do trigo nacional e também 7% do milho 2ª safra.

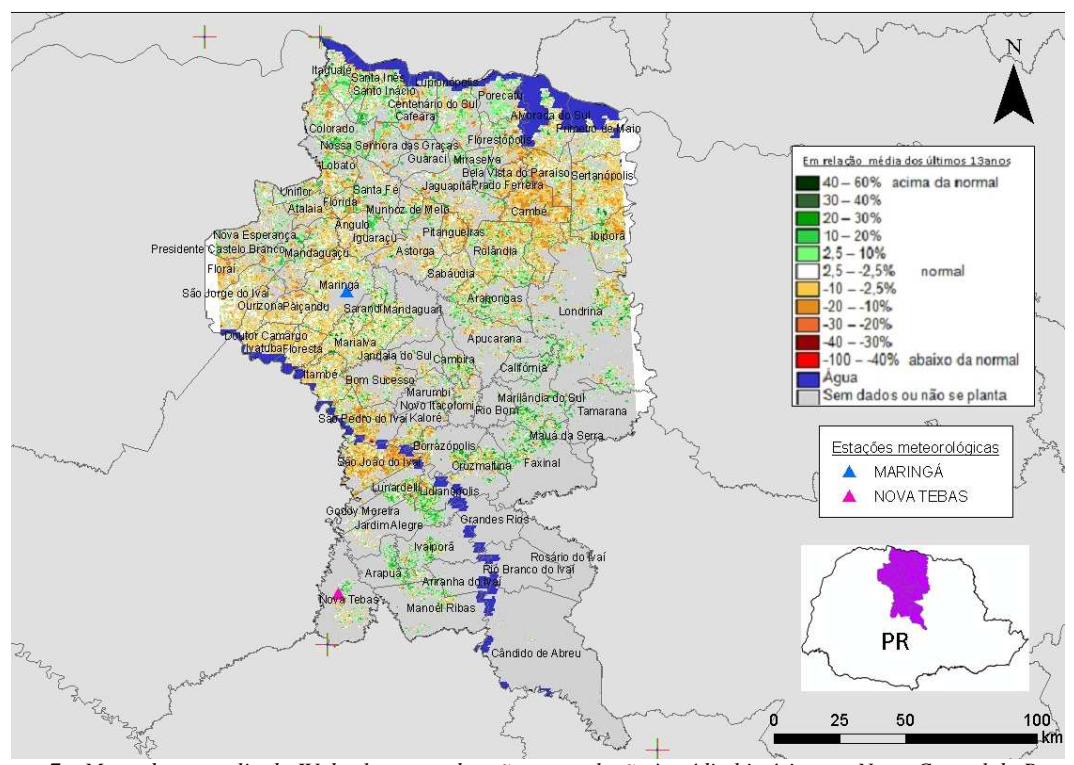


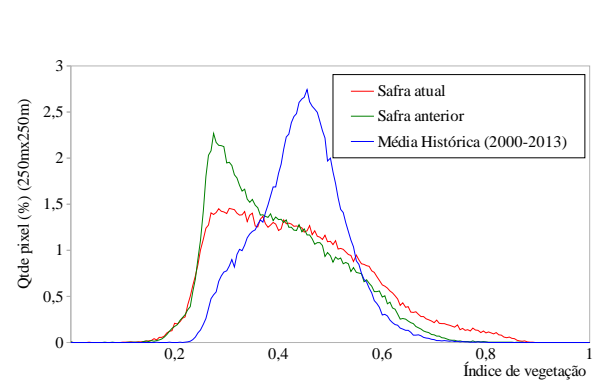
Figura 7 – Mapa de anomalia do IV das lavouras de grãos, em relação à média histórica, no Norte Central do Paraná.

No mapa acima as áreas em tons de amarelo, laranja e marrom correspondem às regiões mais expressivas nos cultivos de inverno, mostrando assim que a anomalia é negativa nestas áreas. O efeito da geada no final de julho e a estiagem em parte da região, durante todo o mês de agosto, provocaram forte queda no potencial produtivo especialmente do trigo. Em alguns municípios, o excesso de chuva em algum momento pode ter favorecido a incidência de doenças. O atraso do plantio do trigo em parte do Norte Central, devido ao excesso de chuva em junho, implicou em atraso do desenvolvimento da cultura que no momento está em fase de expressiva atividade de fotossíntese. Assim, boa parte das lavouras respondem no momento com IV relativamente alto comparado ao mesmo período da safra passada, quando a cultura já estava em maturação/colheita. Estas correspondem às áreas em verde no mapa acima.





Figura 8 – Distribuição da área de milho safrinha no Norte Central do PR.



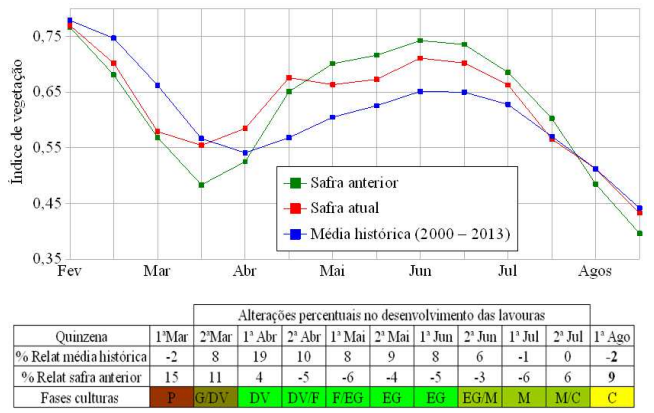


Gráfico 10- Quantificação de áreas agrícolas pelo valor do IV

Gráfico 11 – Evolução temporal do desenvolvimento das lavouras no Norte Central do PR.

Ponderação: O gráfico de quantificação de áreas mostra que expressiva quantidade de lavouras da atual safra responde com IV abaixo da média histórica. Mostra também situação melhor em relação à safra do ano passado. Cálculo ponderado: 2,1% **abaixo** da média histórica e 9,2% **acima** da safra anterior.

Histórico: A linha da média histórica no gráfico da evolução temporal traça o perfil das culturas de 2ª safra e de inverno no Norte Central do PR. O 1º trecho descendente corresponde às fases de maturação e colheita da soja que encerrou em março. A elevação da direita corresponde ao milho safrinha e às culturas de inverno com plantio em março e colheita em julho e agosto.

Nota: A linha da safra do ano passado (cor verde) retrata bem a tendência dos últimos anos quanto ao aumento anual de áreas de plantio do milho 2ª safra. A queda da linha em fevereiro e março indica maturação e colheita da soja precoce. A ascensão ainda em março, mantendo-se bem acima da média histórica, mostra a existência de amplas áreas de 2ª safra e de inverno e em bom padrão de desenvolvimento. Esta linha indica que as colheitas terminam em agosto.

Safra atual: No gráfico 11, a linha vermelha correspondente à safra atual, mostra que o milho safrinha e parte das lavouras de inverno (principalmente de cobertura) estiveram em plena ascensão até a 1ª quinzena de abril. Porém, houve uma queda acentuada, e apesar das chuvas retornarem à normalidade, não foi suficiente para recuperar ao mesmo patamar da safra anterior. Além disso, houve considerável redução de produtividade das lavouras de inverno, que estavam na fase de floração/frutificação no momento da geada no final de julho. Todos os monitoramentos desde a fase de desenvolvimento das lavouras indicam potencial de produtividade inferior ao da safra passada. O atraso do plantio em parte da região, devido ao excesso de chuvas em junho, implicou em atraso no desenvolvimento dos cultivos de inverno que no momento estão com IV relativamente alto. São as áreas em verde no mapa anterior. Esta situação manteve o final da linha da safra atual no nível da média histórica. Na média, a expectativa é de queda do potencial produtivo.

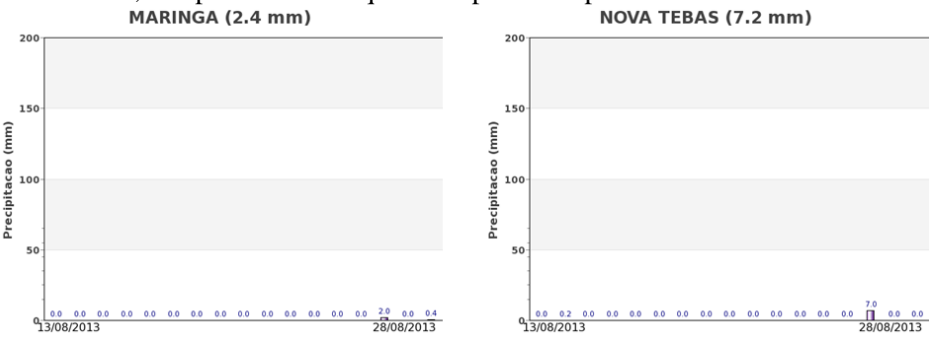


Gráfico 12 - Chuva acumulada diária no Norte Central do PR.

Conforme registros de estações meteorológicas no Norte Central do PR não houve precipitações no período do monitoramento. Esta situação poderá agravar ainda mais a já debilitada situação das lavouras de inverno.

4.5. Sudoeste Paranaense

Esta mesorregião planta aproximadamente 7% trigo nacional.

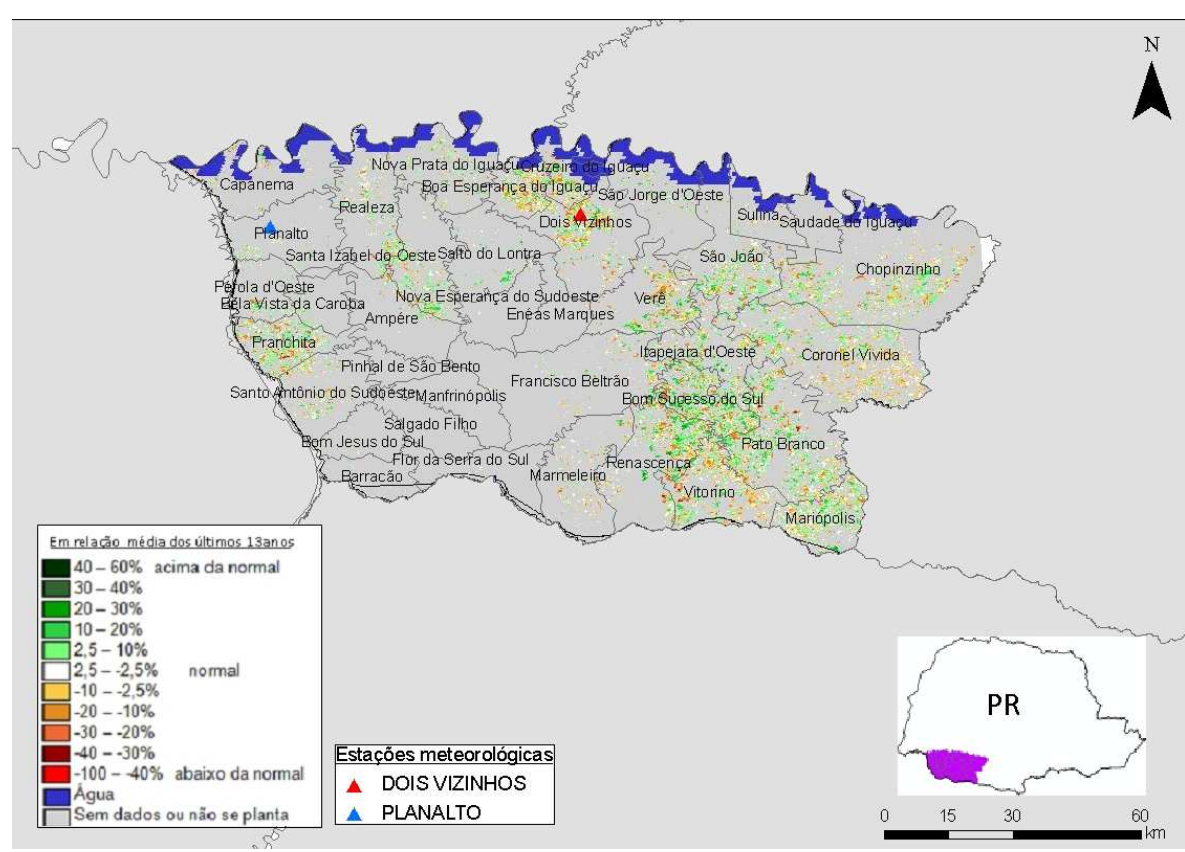


Figura 9 – Mapa de anomalia do IV das lavouras de grãos, em relação à média histórica, no Sudoeste do Paraná.

No mapa acima as áreas em tons de amarelo, laranja e marrom correspondem às regiões mais expressivas nos cultivos de inverno, mostrando assim que a anomalia é negativa nestas áreas. O efeito da geada no final de julho e também em agosto provocou queda no potencial produtivo, especialmente do trigo. Os monitoramentos realizados desde o início do ciclo dos cultivos de inverno, indicam oscilações do padrão de desenvolvimento das lavouras. Os três monitoramentos anteriores indicaram resposta abaixo da safra do ano passado.

Tabela 6 – Principais municípios em área de trigo no Sudoeste do PR.

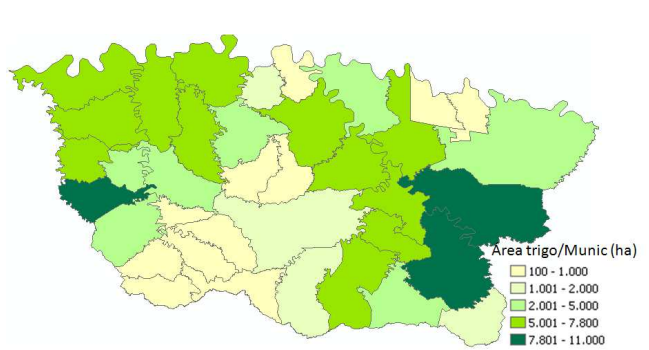
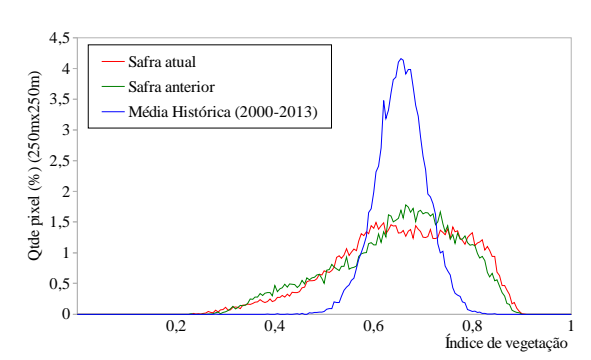
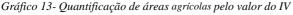


Figura 10 – Distribuição da área de trigo no Sudoeste do PR.

Município	%/Meso	
Coronel Vivida	7,5	
Pato Branco	6,5	
Pranchita	6,5	
Santa Izabel do Oeste	5,3	
Nova Prata do Iguaçu	4,8	
Itapejara d'Oeste	4,5	
São João	4,5	
Realeza	4,4	
Bom Sucesso do Sul	4,2	
Planalto	4,2	
Pérola d'Oeste	4,2	
Renascença	4,1	
Dois Vizinhos	3,8	
Verê	3,8	
Fonte: IBGE		





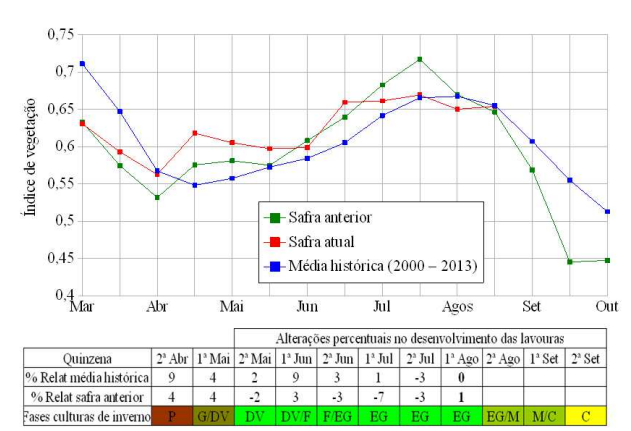


Gráfico 14 – Evolução temporal do desenvolvimento das lavouras no Sudoeste do PR.

Ponderação: O gráfico de quantificação de áreas mostra que na safra atual e na do ano passado as lavouras respondem com uma distribuição diferente da média histórica. Nas últimas safras os valores de IV variam de 0,2 a 0,9 enquanto que historicamente a variação ficou entre 0,4 e 0,8 aproximadamente. Esta configuração caracteriza aumento de áreas de cultivares de ciclos curtos, mudança dos calendários e de outras práticas agrícolas na região. A parte da linha da safra atual deslocada para a esquerda, no gráfico de quantificação de áreas, mostra que expressiva quantidade de lavouras estão respondendo com IV abaixo da média histórica e que correspondem às áreas de cultivos de inverno afetadas pela geada. A parte deslocada para a direita representa a quantidade de lavouras com alta resposta de IV, são as áreas em verde no mapa anterior e correspondem aos cultivos não prejudicados pelos efeitos climáticos adversos. Cálculo ponderado: 0,2% **abaixo** da média histórica e 1,2% **acima** da safra passada.

Histórico: A linha da média histórica no gráfico da evolução temporal traça o perfil das culturas de inverno no Sudoeste do PR. O 1º trecho descendente corresponde às fases de maturação e colheita da soja que, em média, encerra-se em março. A elevação da direita a partir de abril corresponde ao desenvolvimento das áreas com milho 2ª safra. O plantio das culturas de inverno tem início a partir do final de abril.

Safra atual: No gráfico 14, a linha vermelha correspondente à safra atual mostra as condições das lavouras a partir de abril. A queda no penúltimo trecho da linha indica que o desenvolvimento das culturas, principalmente as de inverno foram afetadas pela geada de julho. A expectativa é de redução do potencial produtivo das lavouras atuais. O ganho do índice de vegetação nesta quinzena (último trecho da linha), pode estar relacionado com a recuperação de áreas de cobertura.

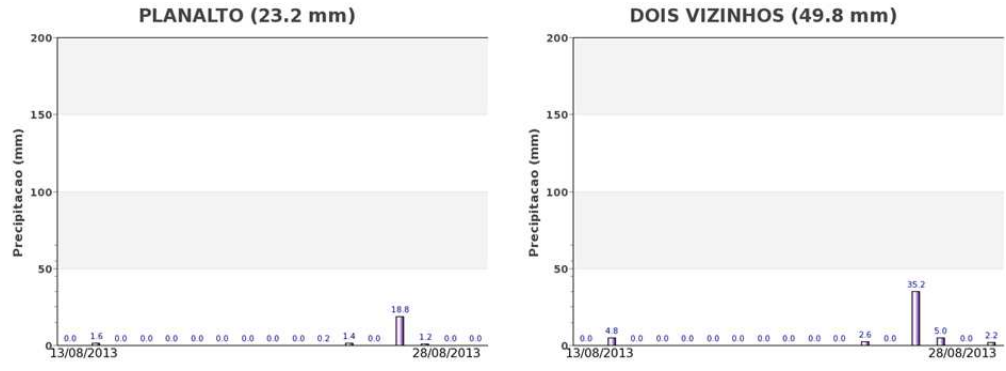


Gráfico 15 - Chuva acumulada diária em estações meteorológicas no Sudoeste do PR.

Os registros de estações meteorológicas no Sudoeste do PR mostram médios volumes de chuva no período do monitoramento. Isto poderá minimizar, nos próximos dias, a queda do potencial de produtividade.

4.6. Norte Pioneiro Paranaense

Esta mesorregião planta aproximadamente 7% trigo nacional.

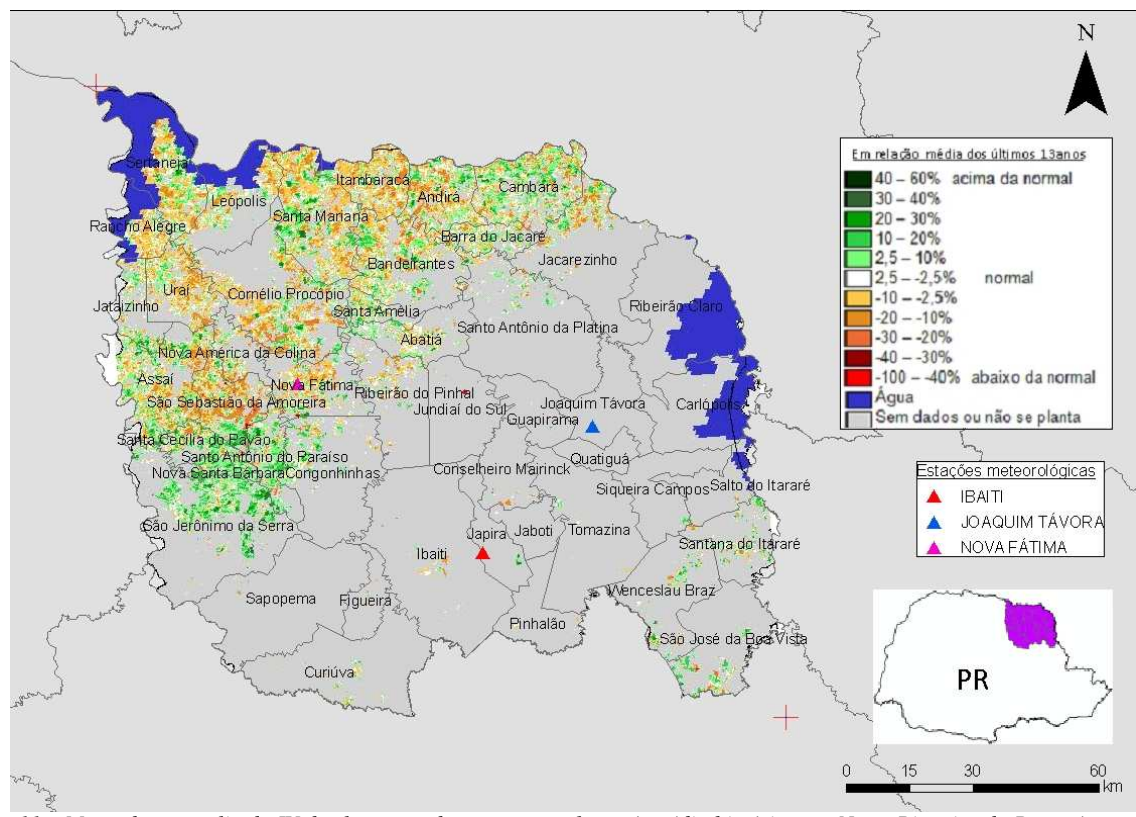


Figura 11 - Mapa de anomalia do IV das lavouras de grãos, em relação à média histórica, no Norte Pioneiro do Paraná.

As áreas em amarelo, laranja e marrom mostram onde o efeito da geada foi mais prejudicial e são bem representativas das lavouras de inverno. A expectativa é de redução no potencial produtivo das culturas de inverno. Atraso do plantio do trigo em parte do Norte Pioneiro, devido ao excesso de chuva em junho, implicou em atraso do desenvolvimento da cultura que no momento está em fase de expressiva atividade de fotossíntese. Assim, boa parte das lavouras respondem no momento com IV relativamente alto comparado ao mesmo período da safra passada, quando a cultura já estava em maturação/colheita. Estas correspondem às áreas em verde no mapa acima. Houve estiagens em período crítico do milho safrinha cuja colheita deve ser concluída com quebra de produtividade.

Tabela 7 – Principais municípios em área de trigo no Norte Prioneiro

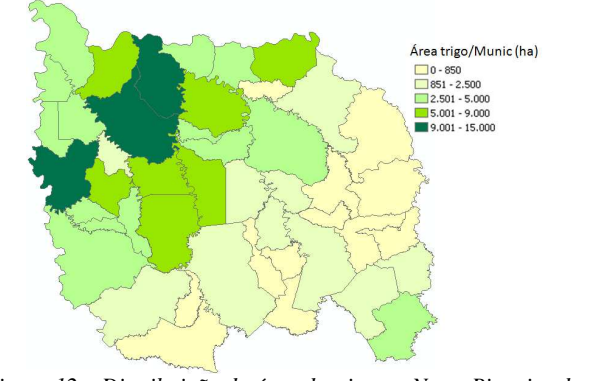


Figura 12 – Distribu	ição da área d	de trigo no Nort	e Pioneiro do PR.

Município	%/Meso	
Cornélio Procópio	9,49	
Assaí	8,23	
Santa Mariana	6,71	
Congonhinhas	5,70	
São Sebastião da Amoreira	4,75	
Nova Fátima	4,43	
Bandeirantes	4,11	
Cambará	3,48	
Leópolis	3,48	
Ribeirão do Pinhal	3,48	
Santo Antônio do Paraíso	3,16	
Sertaneja	3,16	
Fonte: IBGE		

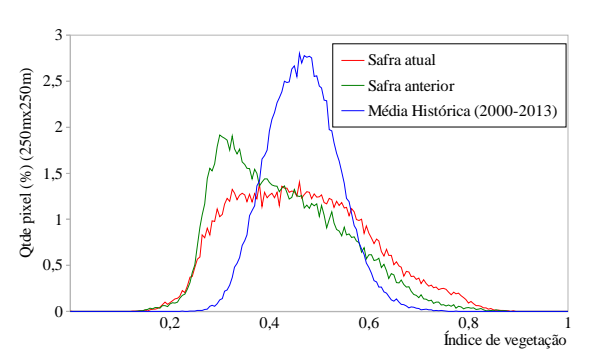


Gráfico 16- Quantificação de áreas agrícolas pelo valor do IV

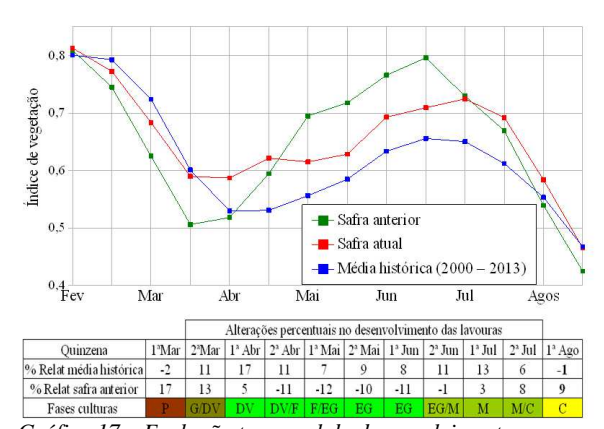


Gráfico 17 – Evolução temporal do desenvolvimento das lavouras no Norte Pioneiro do PR.

Ponderação: A parte da linha da safra atual deslocada mais para a esquerda, no gráfico de quantificação de áreas, mostra que expressiva quantidade de lavouras apresenta valores de IV inferiores aos da média histórica. São as áreas em amarelo, laranja e marrom no mapa anterior e correspondem aos cultivos de inverno prejudicados pela geada no final de julho. O gráfico mostra também que a distribuição da quantidade de lavouras pelo IV da safra atual está um pouco acima da safra anterior. Cálculo ponderado: 0,5% **abaixo** da média histórica e 9,4 % **acima** da safra anterior.

Histórico: A linha da média histórica no gráfico da evolução temporal traça o perfil das culturas de inverno no Norte Pioneiro do PR. O 1º trecho descendente corresponde às fases de maturação e colheita da soja que encerra em março. A elevação da direita corresponde aos cultivos de inverno com plantio em março e colheita em julho e agosto.

Safra atual: No gráfico 17, a linha vermelha correspondente à safra atual, mostra que no final de março e início de abril as lavouras apresentaram bom padrão de desenvolvimento. Porém, nas 4 quinzenas seguintes as condições dos cultivos ficaram bem abaixo das observadas na safra do ano passado. A principal causa desta queda foi o longo período de estiagem desde a fase inicial das culturas de 2ª safra. O atraso do plantio em parte da região, devido ao excesso de chuvas em junho, implicou em atraso no desenvolvimento dos cultivos de inverno que no momento estão com IV relativamente alto. Esta situação manteve o final da linha da safra atual no nível da média histórica. Em média, a expectativa é de queda no potencial de produtividade da safra de inverno.



Gráfico 18 - Chuva acumulada diária em estações meteorológicas no Norte Pioneiro do PR.

Os registros de estações meteorológicas, no Norte Pioneiro do PR, mostram que não teve chuvas no período monitorado. Esta situação poderá comprometer os padrões de desenvolvimento de lavouras em fases que ainda necessitam de água.

4.7. Centro Oriental Paranaense

Nesta mesorregião são plantados aproximadamente 7% do trigo nacional.

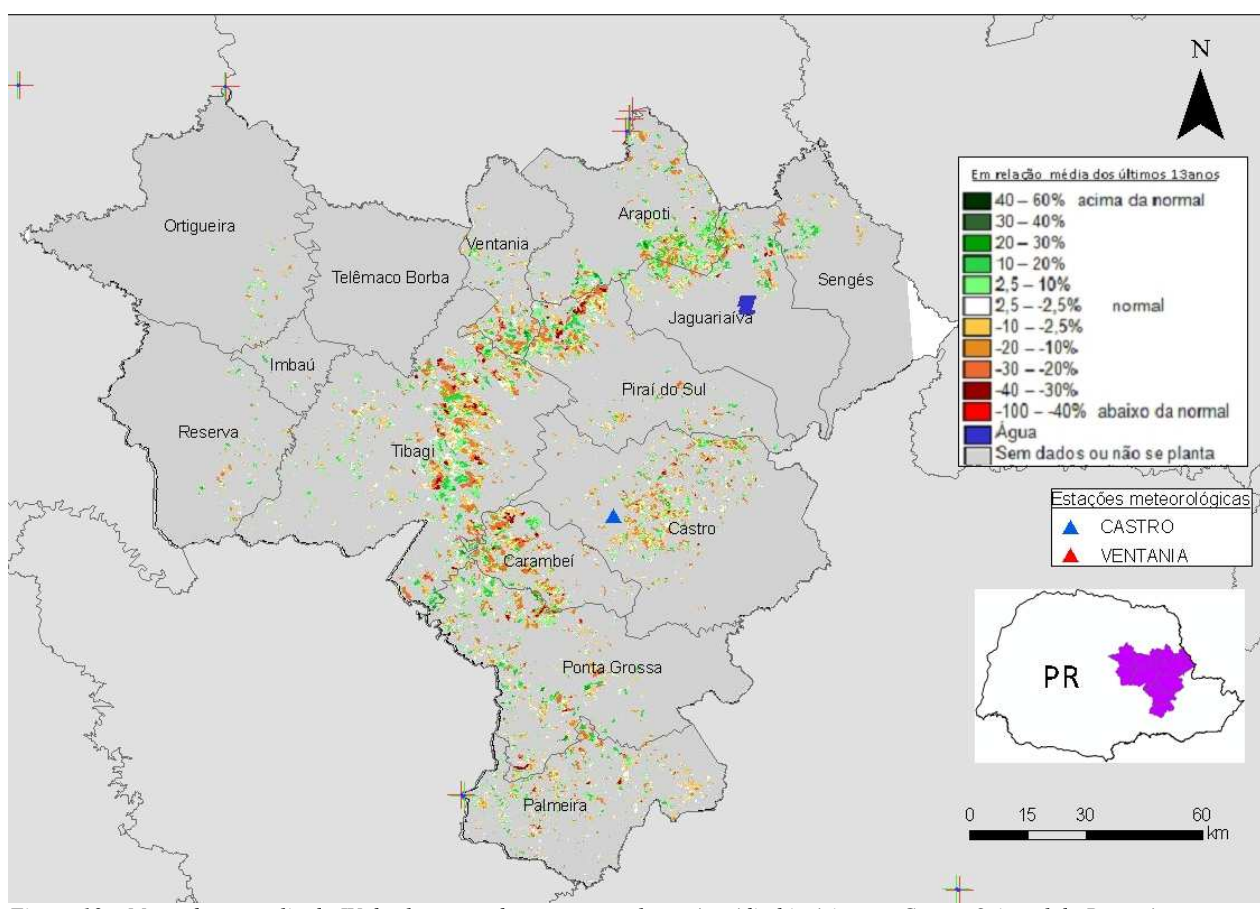


Figura 13 – Mapa de anomalia do IV das lavouras de grãos, em relação à média histórica, no Centro Oriental do Paraná.

As áreas em tons de verde são principalmente de culturas de inverno em fase de desenvolvimento vegetativo e principalmente em floração, plantado em maio e junho e que já apresentam bom padrão de desenvolvimento. Porém, as culturas de cobertura, como a aveia preta, foram afetadas pela geada do final de julho. As áreas em cores amarelo, laranja e marrom podem ser milho safrinha, em maturação e colheita, além das lavouras de inverno prejudicadas pela geada em meados de agosto. A expectativa é de redução do potencial produtivo das culturas de inverno.

Tabela 8 – Principais municípios em área de trigo no Centro Oriental do PR.



Figura 14 – Distribuição da área de trigo no Centro Oriental do PR.

Município	%/Meso	
Tibagi	32,2	
Castro	18,0	
Arapoti	8,8	
Sengés	7,1	
Carambeí	6,7	
Ponta Grossa	6,7	
Ventania	5,9	
Palmeira	4,2	
Jaguariaíva	3,0	
Piraí do Sul	2,9	
Ortigueira	2,7	
Reserva	1,7	
Fonte: IBGE		

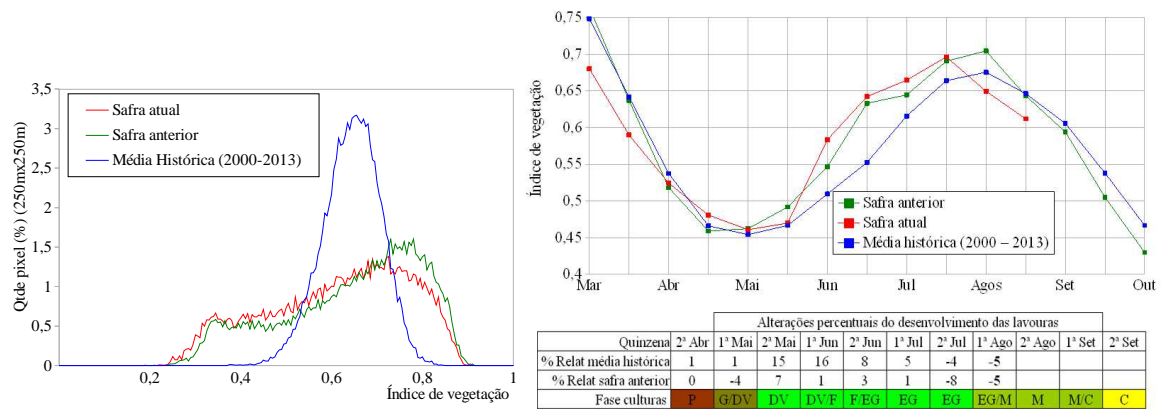


Gráfico 19 - Quantificação de áreas agrícolas pelo valor do IV Gráfico 20 – Evolução temporal do desenvolvimento das lavouras no Centro Oriental do PR.

Ponderação: O gráfico da quantificação de áreas mostra que uma parcela razoável das lavouras da safra atual responde com IV abaixo da normal, são as áreas em tons amarelo, laranja e marrom no mapa anterior, correspondendo às lavouras de inverno afetadas pela geada do final de julho e meados de agosto. No lado direito deste gráfico, a linha vermelha mostra que parte das áreas respondem com IV relativamente alto, correspondendo aos cultivos de inverno e outras coberturas vegetais que não foram afetados pela geada. São as áreas em tons de verde no mapa. A geada em agosto provocou quebra de rendimento. Cálculo ponderado: 5,3% **abaixo** da média histórica e 4,9% **abaixo** da safra anterior.

Histórico: A linha da média histórica no gráfico da evolução temporal traça o perfil das culturas de inverno no Centro Oriental do PR. O 1º trecho descendente corresponde às fases de maturação e colheita dos cultivos de verão que encerra em abril. A ascensão a partir de maio corresponde aos cultivos de inverno, principalmente trigo.

Safra atual: No gráfico 20 a linha vermelha correspondente à safra atual mostra que as lavouras, principalmente as de inverno, responderam com potencial de produtividade acima da média histórica até a 3ª semana de julho. Contudo, a geada no final daquele mês teve efeito negativo sobre as culturas de cobertura e levou a quebra de produtividade dos cultivos de inverno em meados de agosto. Isto é constatado pelo forte declínio dos últimos trechos da linha vermelha.

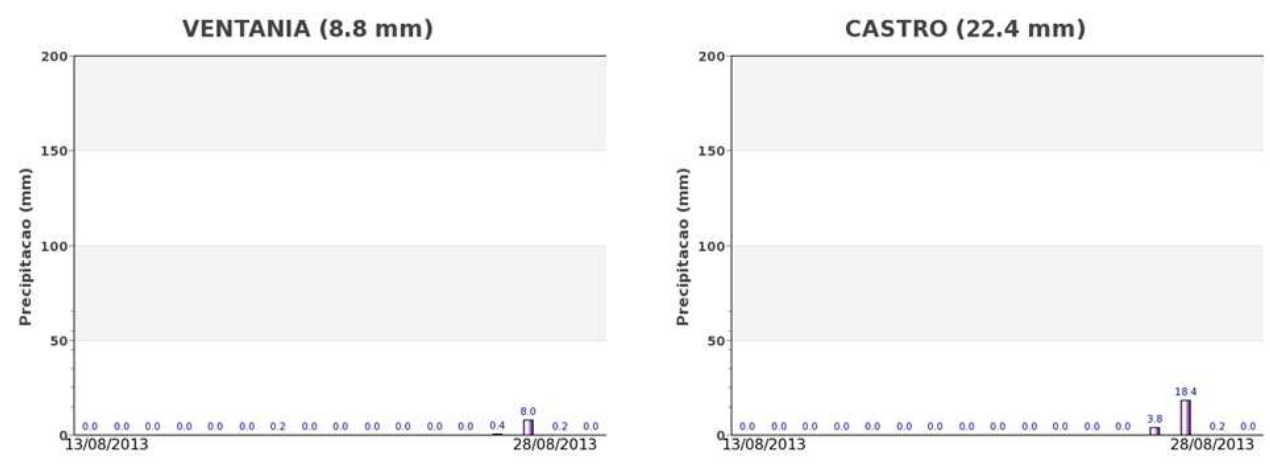
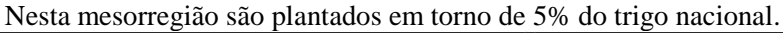


Gráfico 21 - Chuva acumulada diária e mensal em estações meteorológicas no Centro Oriental do PR.

Os registros de estações meteorológicas no Centro Oriental do PR mostram que choveu muito pouco no período do monitoramento. Esta situação pode afetar ainda mais as lavouras já prejudicadas pela geada e que estejam ainda em fases vulneráveis ao déficit hídrico.

4.8. Centro Ocidental Paranaense



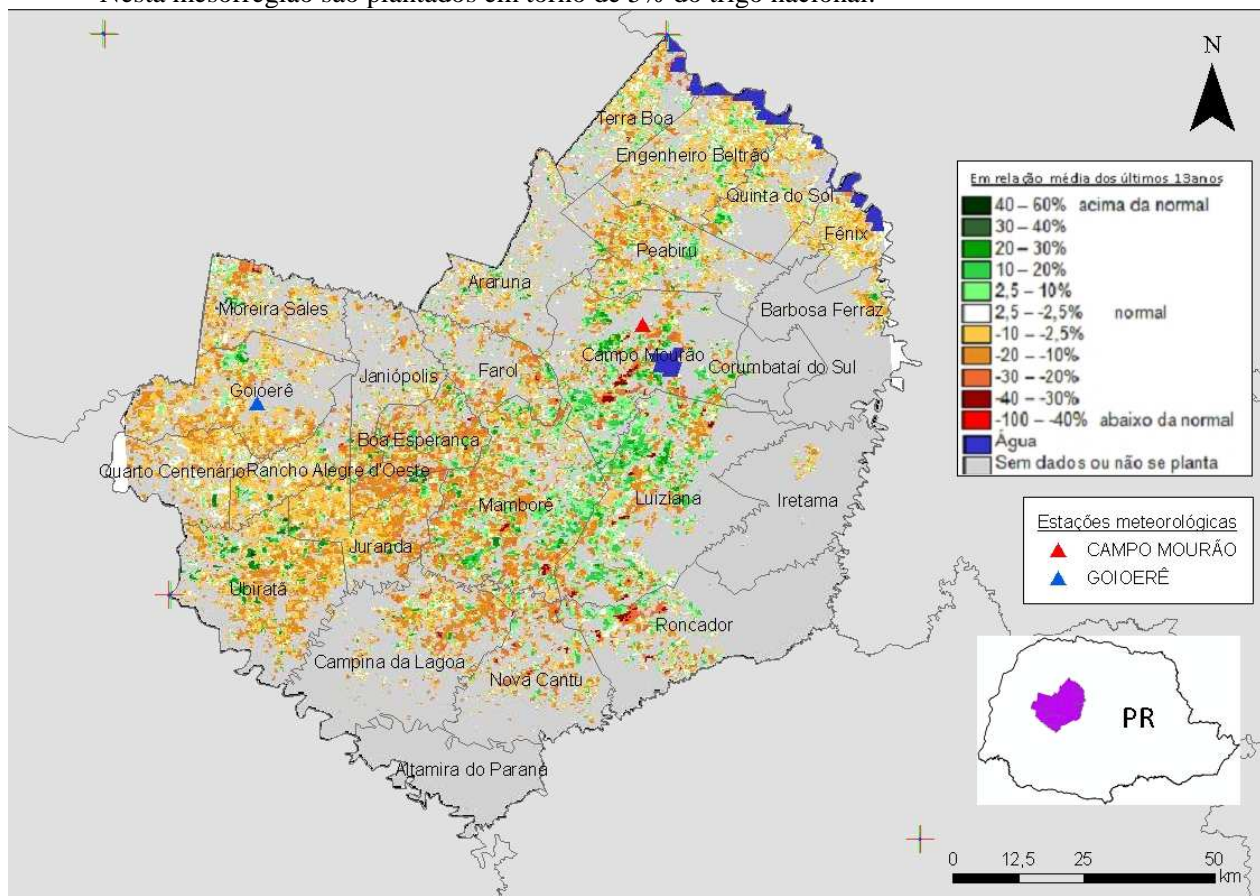


Figura 15 – Mapa de anomalia do IV das lavouras de grãos, em relação à média histórica, no Centro Ocidental do PR.

As áreas em cores amarelo, laranja e marrom indicam que uma maior quantidade de lavouras respondem com IV abaixo da média histórica. São principalmente cultivos de inverno inclusive de cobertura em fases de floração/frutificação, afetados pela geada no final de julho e também em agosto. Uma parcela menor responde acima, são as áreas em verde ocupadas com lavouras de cobertura e eventualmente trigo não prejudicadas pela geada. Praticamente todo milho safrinha já foi colhido.

Tabela 9 – Principais municípios em área de trigo no Centro Ocidental do PR.

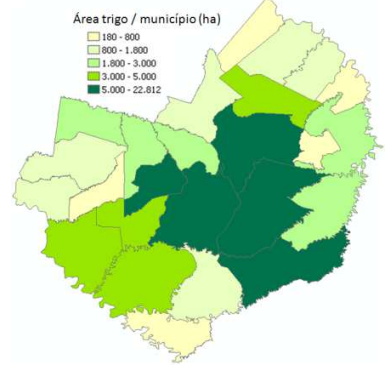
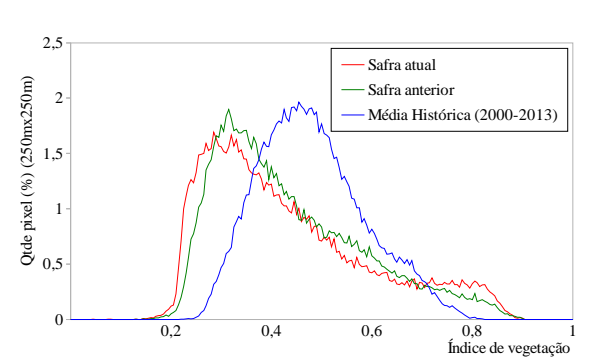


Figura 16 – Distribuição da área de trigo no Centro Ocidental do PR.

Município	%/Meso	
Mamborê	20,6	
Luiziana	15,4	
Boa Esperança	9,9	
Campo Mourão	9,9	
Roncador	8,9	
Campina da Lagoa	4,5	
Ubiratã	3,8	
Juranda	3,2	
Peabiru	3,0	
Farol	2,7	
Janiópolis	2,3	
Moreira Sales	2,0	
Fonte: IBGE		



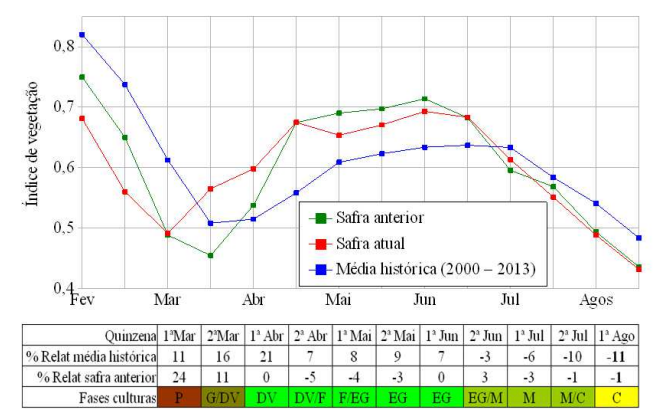


Gráfico 22 - Quantificação de áreas agrícolas pelo valor do IV

Gráfico 23 – Evolução temporal do desenvolvimento das lavouras no Centro Ocidental do PR.

Ponderação: No gráfico de quantificação de áreas, o deslocamento da linha vermelha para a esquerda, mostra que expressiva parcela das lavouras apresenta baixos valores de IV, sendo principalmente de culturas de inverno prejudicadas pela geada e também de milho safrinha recém-colhido. São as áreas em amarelo, laranja e marrom no mapa da página anterior. Cálculo ponderado: 10,7% **abaixo** da média histórica e 1,0% **abaixo** da safra anterior. Esta ponderação reflete a quebra do potencial produtivo.

Histórico: A linha da média histórica no gráfico da evolução temporal traça o perfil das culturas de inverno no Centro Ocidental do PR. O 1º trecho descendente corresponde às fases de maturação e colheita da soja que encerra em março. A elevação da direita corresponde principalmente aos cultivos de inverno, com plantio em fevereiro e março e colheita em julho e agosto.

Nota: A linha da safra anterior (cor verde) retrata bem a tendência dos últimos anos de aumento anual de cultivos de inverno e também do milho 2ª safra. A queda da linha em fevereiro e março indica maturação e colheita da soja precoce. A forte ascensão em março e sua manutenção bem acima da média histórica, mostra que amplas áreas de lavouras de inverno e de 2ª safra estavam presentes e que foi bom o padrão de desenvolvimento do ano passado.

Safra atual: No gráfico 23, a linha vermelha correspondente à safra atual posicionada mais para a esquerda, no mês de fevereiro, é indicativo de que o calendário dos cultivos deste ano foi antecipado em relação à média histórica. Assim, a maturação e a consequente queda do IV pode acontecer mais cedo. A queda do IV no final de abril e maio pode caracterizar pequena redução na produtividade do milho safrinha em decorrência de estiagem naquele período. A declinação do último trecho da linha em relação à média histórica mostra que a safra atual foi afetada pela geada no final de julho e também agora em agosto.

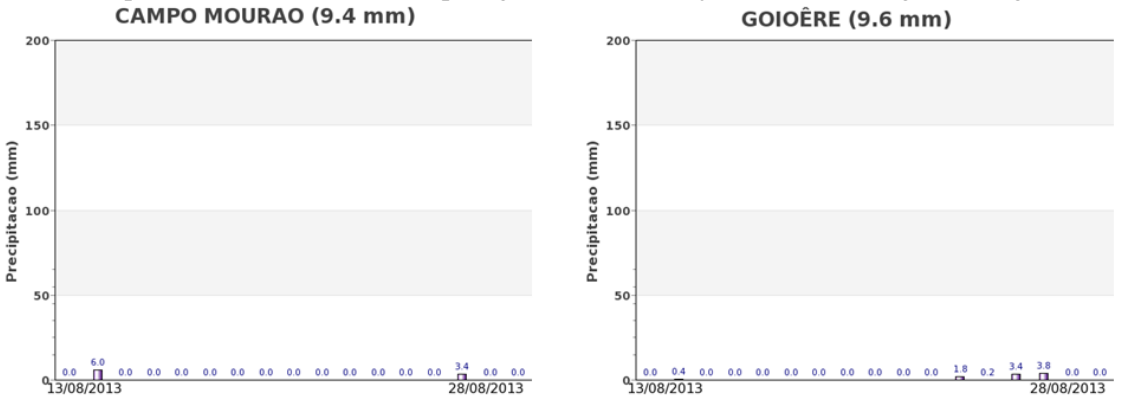


Gráfico 24 - Chuva acumulada diária em estação meteorológica no Centro Ocidental do PR.

Praticamente não choveu no período do monitoramento. Esta situação pode agravar mais ainda o efeito negativo das geadas sobre as lavouras de inverno em fases ainda vulneráveis ao déficit hídrico.

4.9. Centro-Sul Paranaense

Esta mesorregião planta em torno de 4% do trigo nacional.

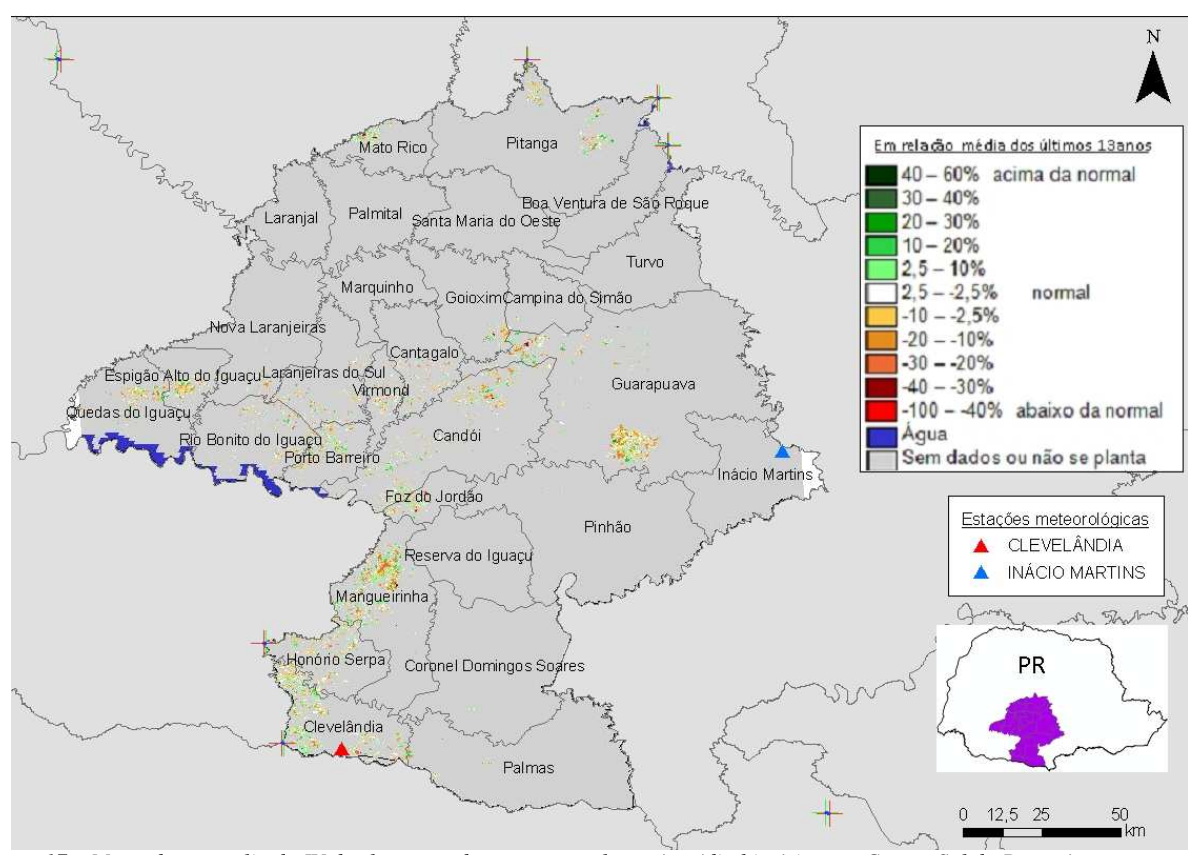


Figura 17 – Mapa de anomalia do IV das lavouras de grãos, em relação à média histórica, no Centro-Sul do Paraná.

Os cultivos de 2ª safra nesta região são relativamente menos expressivos que nas outras regiões monitoradas no PR. Por isso são poucas as áreas indicando anomalias no mapa. As lavouras presentes, respondem com padrão de desenvolvimento abaixo do ano passado. Alguns cultivos de inverno nesta região, dependendo do estágio atual de desenvolvimento, tiveram forte queda do potencial de produtividade devido à geada em agosto. Cultivos de cobertura/pastagem foram prejudicados pela geada de julho. Áreas em verde podem ser de rebrota de parte destes cultivos, em agosto.

Tabela 10 – Principais municípios em área de trigo no Centro-Sul do PR.

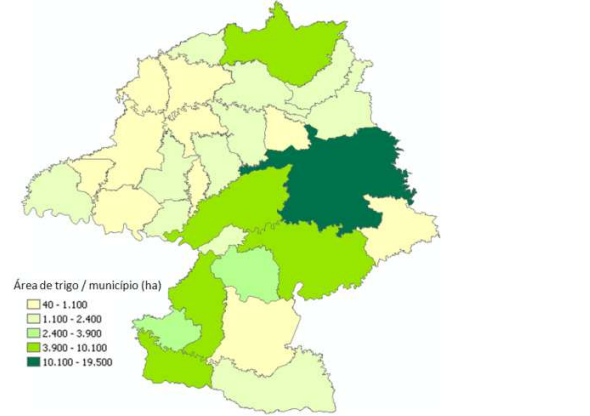
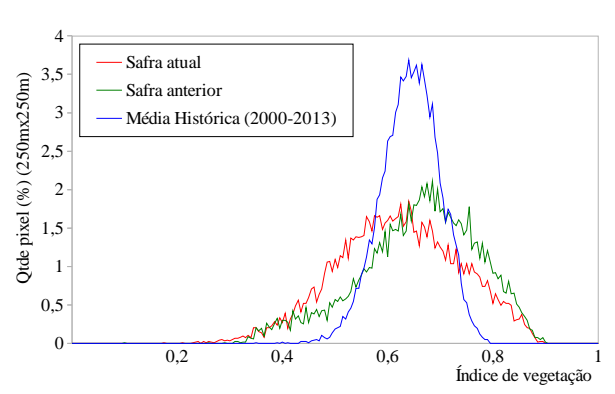


Figura 18	8 – Distribui	cão da área	de trigo no	Centro-Sul do PR.

Município	%/Meso
Guarapuava	21,7
Candói	11,2
Clevelândia	8,3
Pinhão	8,2
Pitanga	7,8
Mangueirinha	7,2
Reserva do Iguaçu	4,3
Honório Serpa	3,3
Mato Rico	2,7
Cantagalo	2,3
Palmas	2,2
Quedas do Iguaçu	2,1
Foz do Jordão	2,0
Goioxim	2,0
Santa Maria do Oeste	2,0
Fonte: IBGE	



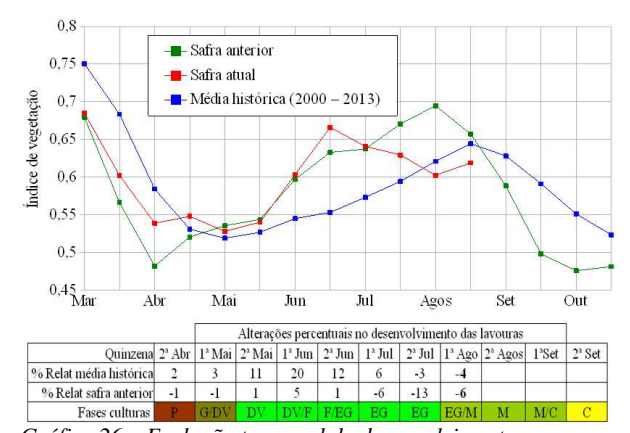


Gráfico 25- Quantificação de áreas agrícolas pelo valor do IV

Gráfico 26 – Evolução temporal do desenvolvimento das lavouras no Centro-Sul do PR

Ponderação: O gráfico de quantificação de áreas mostra que as lavouras estão respondendo com potencial produtivo abaixo da média histórica e também em relação à safra passada. Cálculo ponderado: 4,0% **abaixo** da média histórica e 5,9% **abaixo** da safra anterior.

Histórico: A linha da média histórica no gráfico da evolução temporal traça o perfil das culturas de inverno no Centro-Sul do PR. O 1º trecho descendente corresponde às fases de maturação e colheita da soja, que de acordo com a média, encerra normalmente em abril. A ascensão a partir de maio corresponde aos cultivos de inverno com plantio iniciado em abril.

Nota: A linha da safra anterior retrata bem a tendência dos últimos anos quanto aos cultivos de inverno e do milho 2ª safra. A acentuada queda da linha em fevereiro e março indica maturação e colheita da soja precoce. A ascensão em abril mostra a resposta positiva principalmente das lavouras de inverno.

Safra atual: No gráfico 26, a linha vermelha mostra que a safra atual seguiu bem até meados de junho. Este período corresponde principalmente ao ciclo do milho safrinha. Houve uma queda nas quinzenas seguintes em consequência das fortes chuvas em junho que atrasaram o plantio das culturas de inverno. Pelo forte declínio do penúltimo trecho da linha, ficando ainda abaixo das safras anteriores, o gráfico indica que houve expressiva queda no potencial produtivo, principalmente dos cultivos de inverno em decorrência da geada no final de julho. A ascensão do último trecho da linha pode ser devida à recuperação de parte dos cultivos de cobertura no mês de agosto.

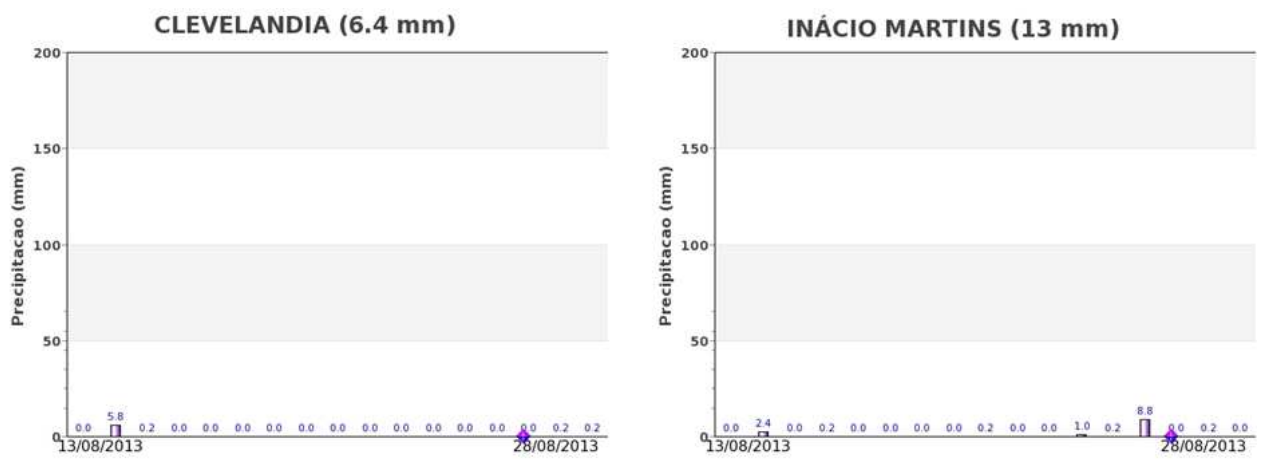


Gráfico 27 - Chuva acumulada diária em estações meteorológicas no Centro-Sul do PR.

As estações meteorológicas registraram baixos volumes de chuva na região. Além da geada que pode ter afetado negativamente os cultivos de inverno, a falta de chuva pode comprometer ainda mais o potencial de produtividade.

4.10. Nordeste Baiano

Nesta mesorregião são plantados em torno de 5% do milho de 2ª safra no país.

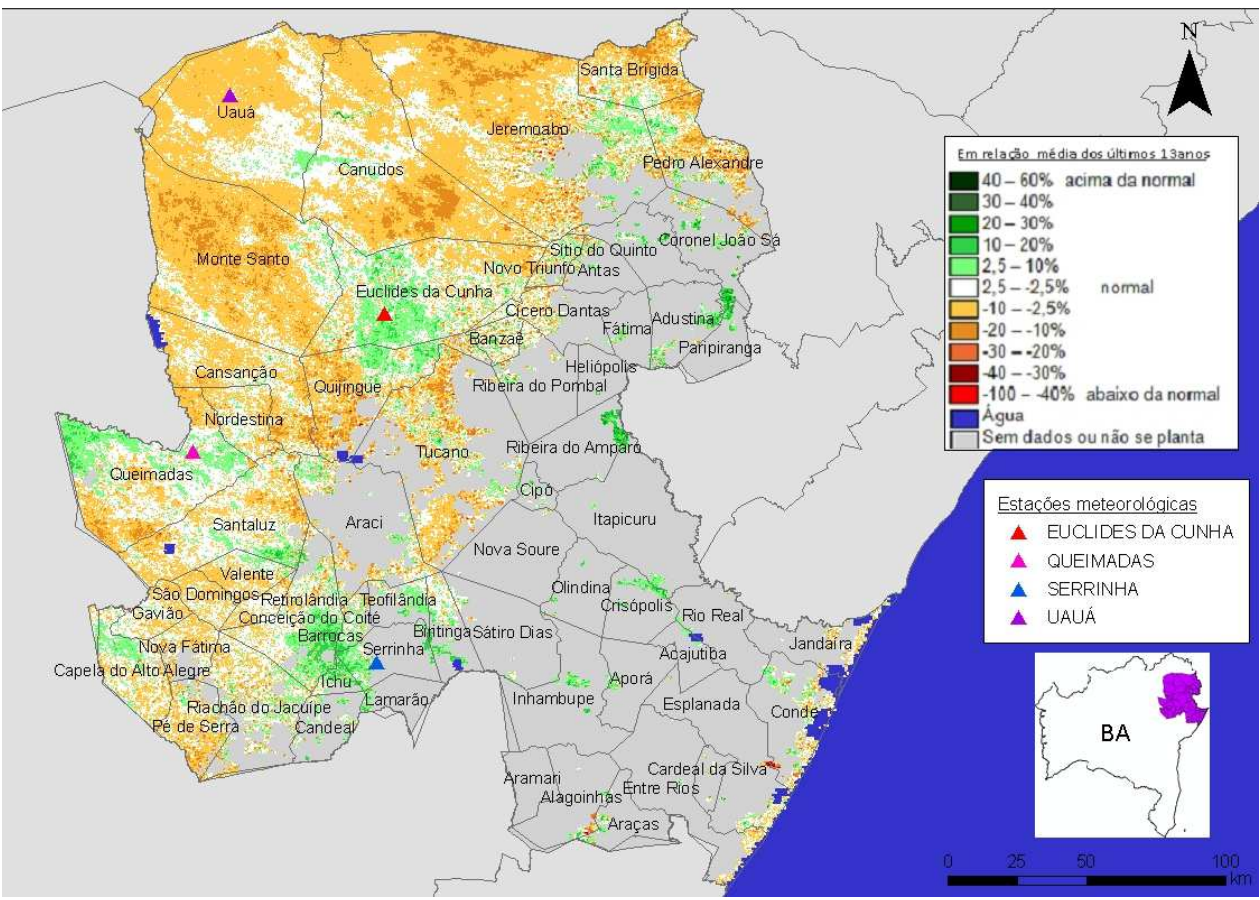


Figura 19 – Mapa de anomalia do IV das lavouras de grãos, em relação à média histórica, no Nordeste da Bahia.

O mapa acima, diferentemente da região Sul, foi gerado sem a máscara de cultivos. Assim, as cores amarelo, laranja e marrom que caracterizam anomalia negativa da vegetação, não correspondem às principais zonas produtoras. As áreas em tons de verde, que indicam anomalia positiva em relação à média histórica, estão nos municípios principais produtores desta região. Assim, conclui-se que os cultivos atuais, especialmente do milho safrinha e feijão, apresentam bom padrão de desenvolvimento.

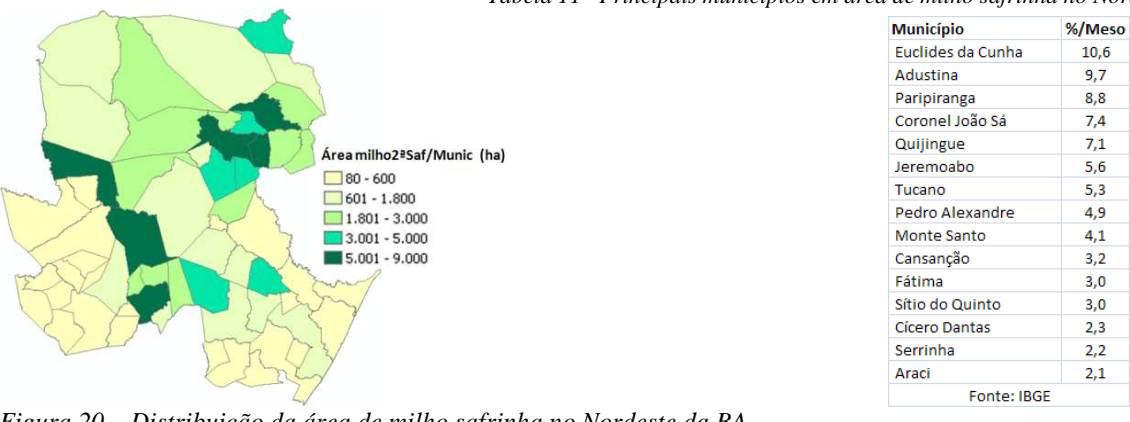
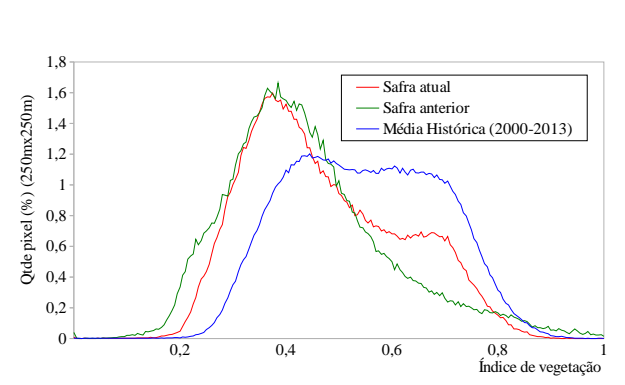


Tabela 11- Principais municípios em área de milho safrinha no Nordeste da BA.

Figura 20 – Distribuição da área de milho safrinha no Nordeste da BA.



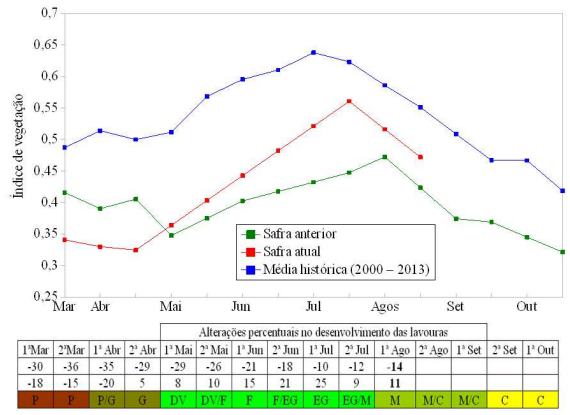


Gráfico 28- Quantificação de áreas agrícolas pelo valor do IV

Gráfico 29 – Evolução temporal do desenvolvimento das lavouras no Nordeste da BA.

Ponderação: O gráfico da quantificação de áreas mostra que a vegetação em geral responde abaixo da média histórica, porém, em condições melhores que as do ano passado. Cálculo ponderado: 14,4% **abaixo** da média histórica e 11,5% **acima** da safra anterior.

Histórico: A linha da média histórica no gráfico da evolução temporal traça o perfil das culturas no Nordeste da BA. Mostra que os cultivos de 2ª safra são semeados principalmente a partir de março. As fases de desenvolvimento vegetativo, floração e enchimento de grão seguem um longo período até agosto. As colheitas devem finalizar em agosto ou setembro.

Safra atual: A linha da safra atual no gráfico 29 mostra que o padrão de desenvolvimento das lavouras esteve abaixo da média histórica e da safra passada, até a 1ª quinzena de abril, em função da forte estiagem do 1º trimestre do ano. Porém, houve recuperação e o estágio atual responde acima do que ocorreu no ano passado.

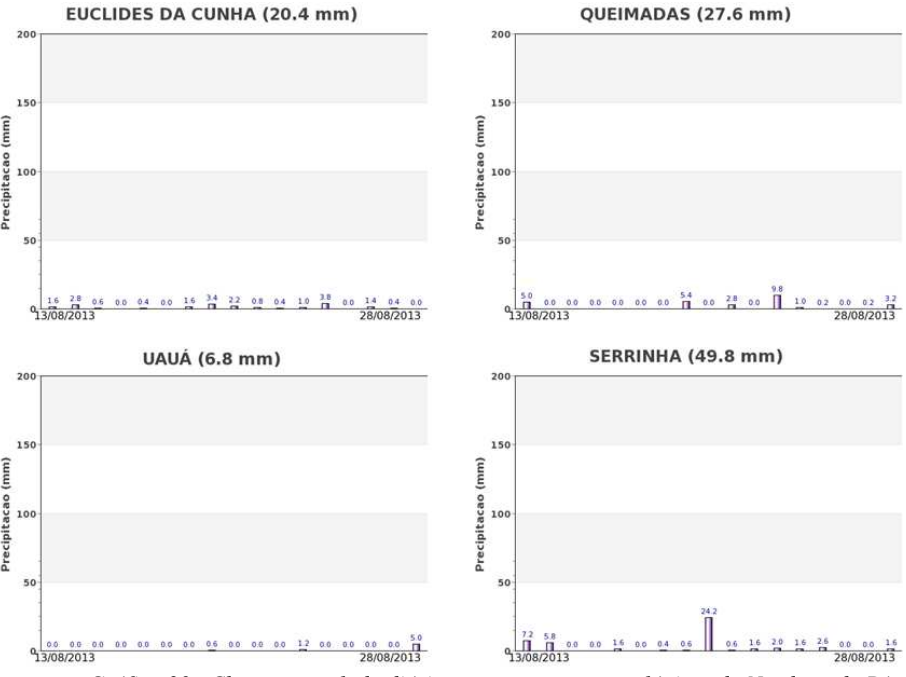


Gráfico 30 - Chuva acumulada diária em estações meteorológicas do Nordeste da BA.

As estações meteorológicas do Nordeste Baiano registraram baixos volumes de chuva no período monitorado o que pode comprometer o desenvolvimento das áreas agrícolas ainda vulneráveis ao déficit hídrico.

4.11. Sertão Sergipano

Nesta mesorregião são plantados em torno de 2% do milho de 2ª safra no país.

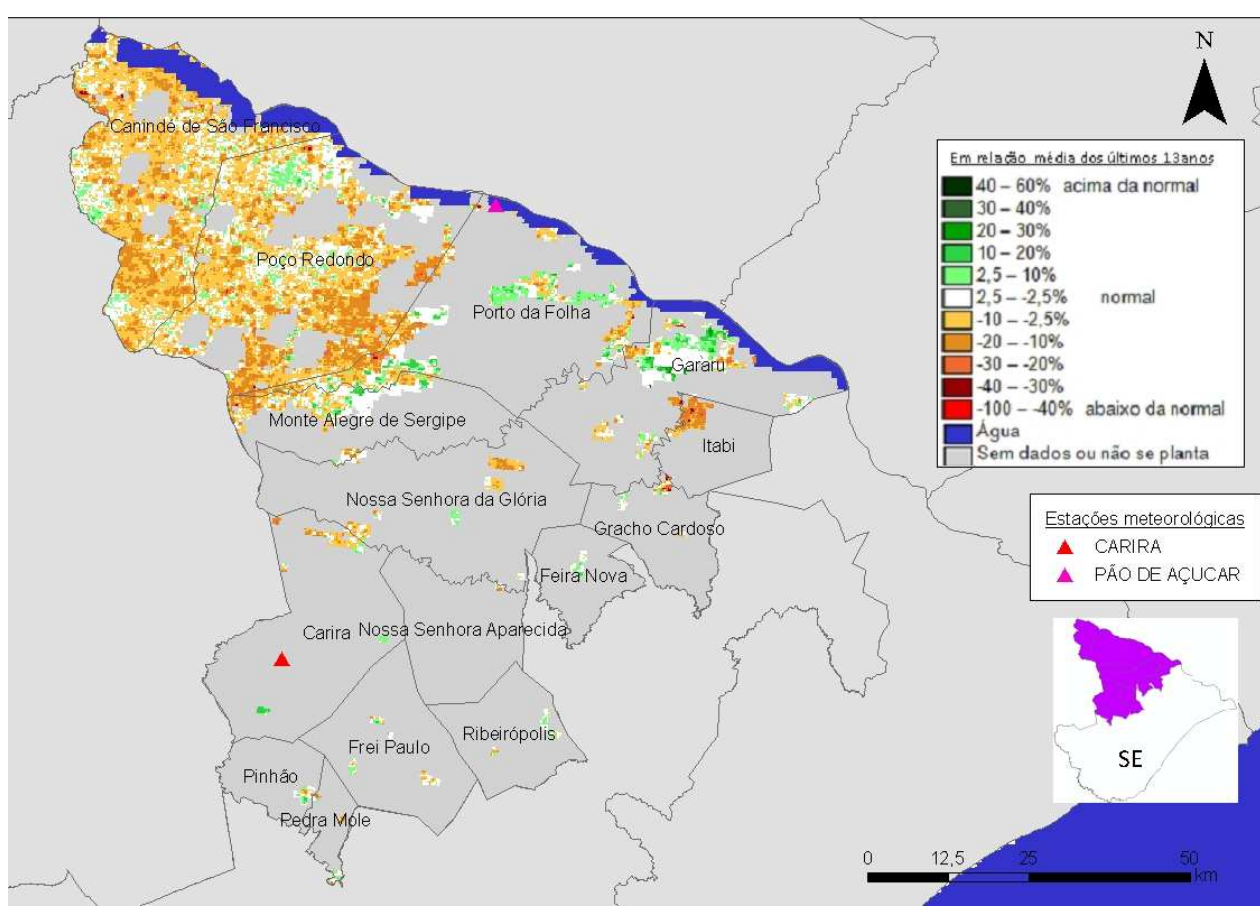
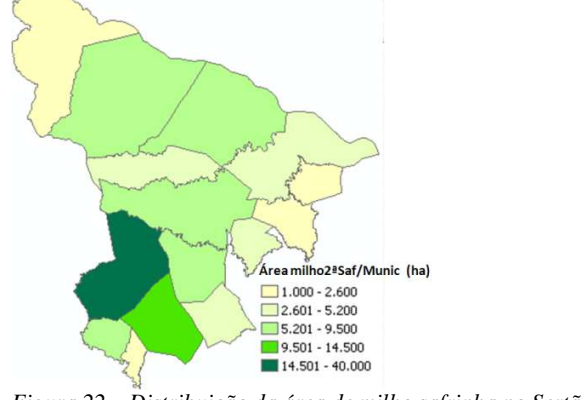


Figura 21 – Mapa de anomalia do IV das lavouras de grãos, em relação à média histórica, no Sertão Sergipano.

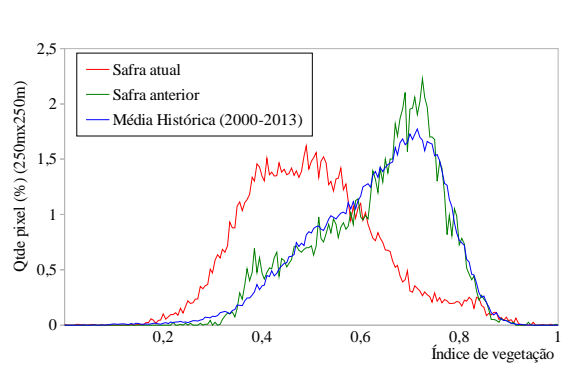
O mapa acima, diferentemente da região Sul, foi gerado sem a máscara de cultivos. Muita cobertura de nuvens dificultou a obtenção de imagens de satélite para plena cobertura da região. A predominância das cores amarelo, laranja e marrom caracterizam anomalia negativa.

Tabela 12 – Principais municípios em área de milho safrinha no Sertão de SE.



	da área de milho .	

Município	%/Meso			
Carira	35,1			
Frei Paulo	12,7			
Nossa Senhora da Glória	8,3			
Pinhão	6,6			
Nossa Senhora Aparecida	6,1			
Poão Redondo	5,3			
Porto da Folha	5,3			
Monte Alegre de Sergipe	4,6			
Ribeirópolis	4,0			
Fonte: IBGE				



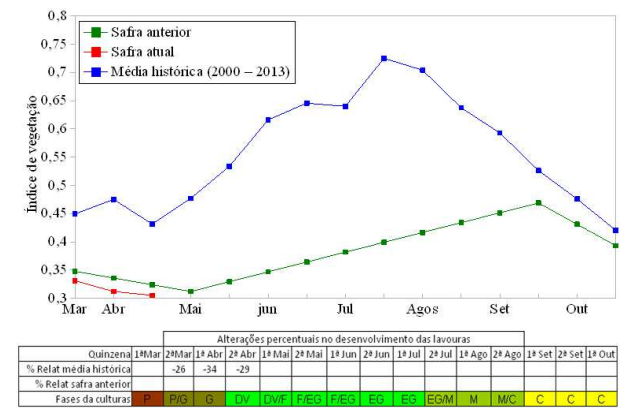


Gráfico 31- Quantificação de áreas agrícolas pelo valor do IV

Gráfico 32 – Evolução temporal do desenvolvimento das lavouras no Sertão de Sergipe.

Ponderação: O gráfico da quantificação de áreas indica que a vegetação em geral responde bem abaixo da média histórica e do ano passado. Cálculo ponderado: 20,6% **abaixo** da média histórica e 20,9% **abaixo** da safra anterior.

Histórico: A linha da média histórica no gráfico da evolução temporal traça o perfil das culturas no Sertão do SE. Mostra que os cultivos de 2ª safra são semeados principalmente a partir de março. As fases de desenvolvimento vegetativo, floração e enchimento de grão seguem um longo período até agosto. As colheitas devem finalizar em agosto ou setembro.

Safra atual: A linha da safra atual no gráfico 32, mostra que neste ano a vegetação respondeu com baixos valores de IV até a 1ª quinzena de abril. Entretanto, os dados das quinzenas seguintes não foram suficientes para traçar a continuidade da linha vermelha. Assim, não foi possível tirar conclusões sobre a safra atual a partir deste segmento do gráfico. Porém, o cálculo ponderado com dados do gráfico 31 mostra muito baixa resposta ao IV da safra atual em relação à safra passada e à média histórica.

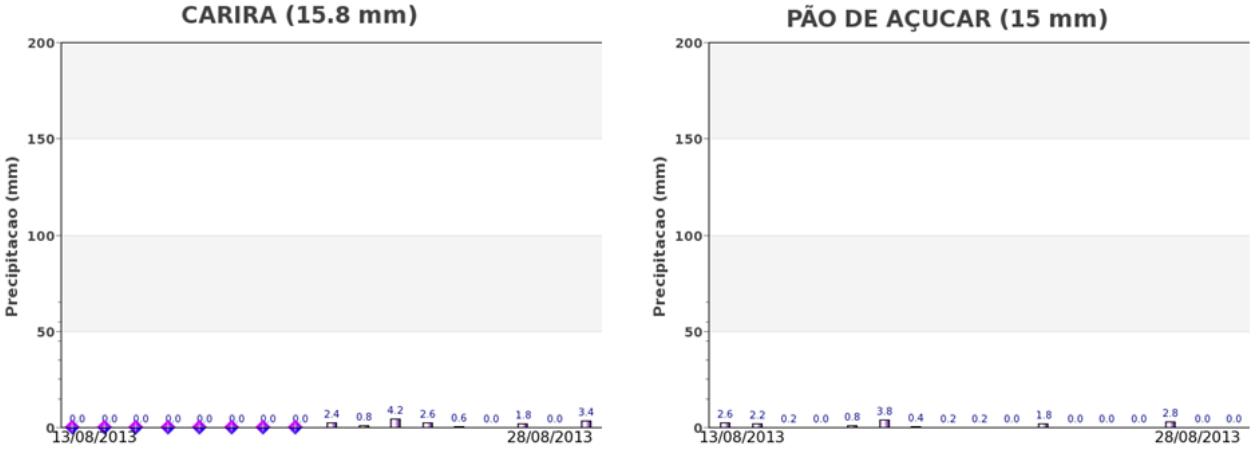


Gráfico 33 - Chuva acumulada diária em estações meteorológicas do Sertão de SE.

Chuvas insignificantes foram registradas pelas estações meteorológicas da região. O déficit hídrico comprometeu o desenvolvimento das lavouras conforme constado pelos dados de satélite.

4.12. Agreste Sergipano

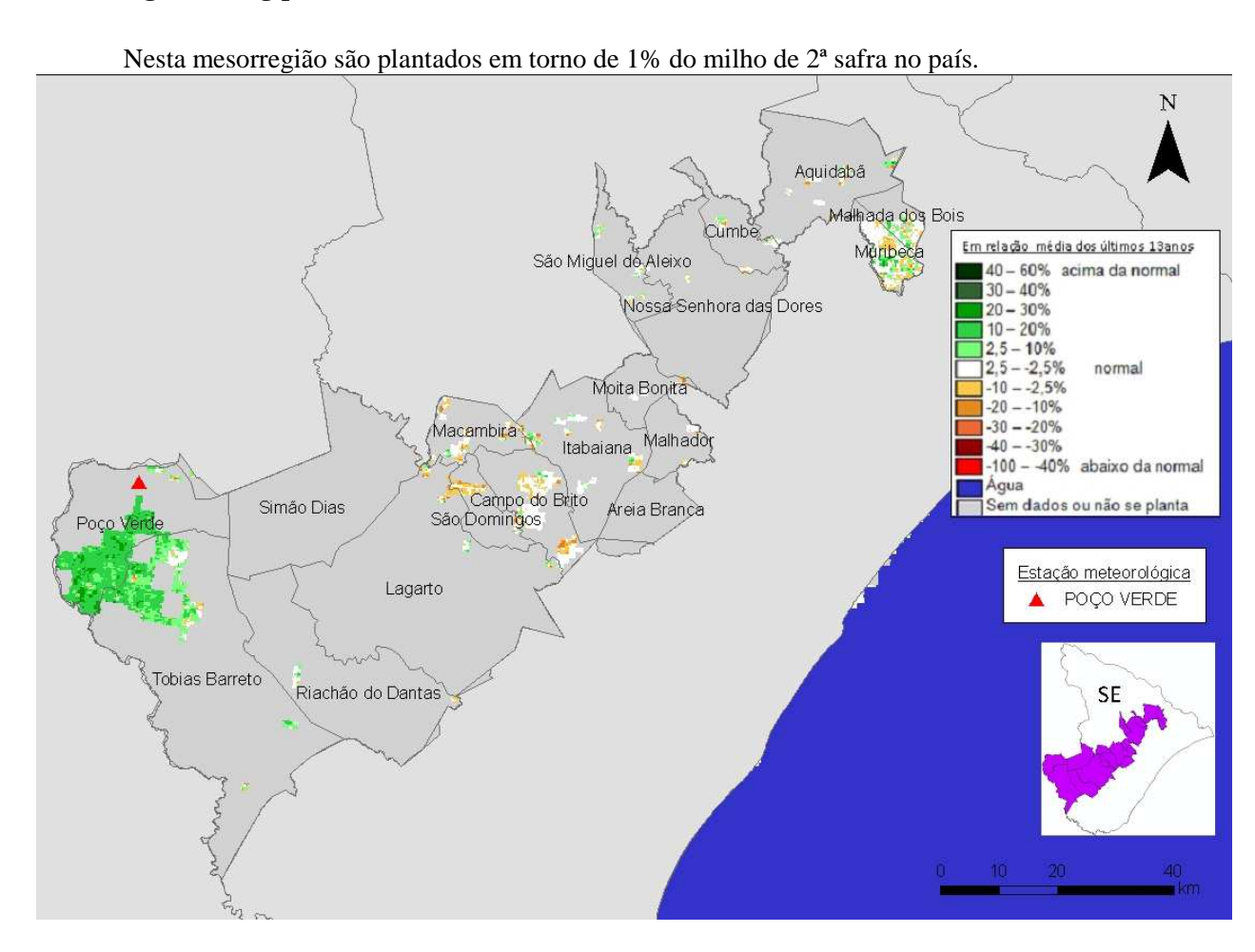


Figura 23 – Mapa de anomalia do IV das lavouras de grãos, em relação à média histórica, no Agreste Sergipano.

O mapa acima, diferentemente da região Sul, foi gerado sem a máscara de cultivos. Muita cobertura de nuvens dificultou a obtenção de imagens de satélite para plena cobertura da região. A predominância das cores em tons de verde caracteriza anomalia positiva da vegetação em geral. As culturas de 2ª safra apresentam padrão de desenvolvimento relativamente bom.

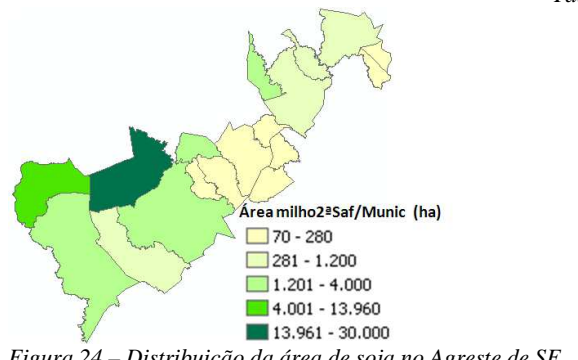
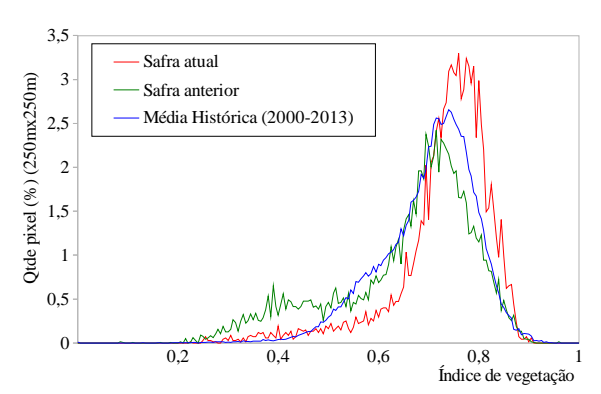


Tabela 13 – Principais municípios em área de soja no Agreste de SE.

Município	%/Meso
Simão Dias	48,9
Poço Verde	22,8
São Miguel do Aleixo	6,5
Tobias Barreto	6,0
Macambira	4,6
Lagarto	3,4
Cumbe	2,0
Nossa Senhora das Dores	1,6
Aquidabã	1,3
Riachão do Dantas	1,0
Campo do Brito	0,5
São Domingos	0,5
Fonte: IBGE	



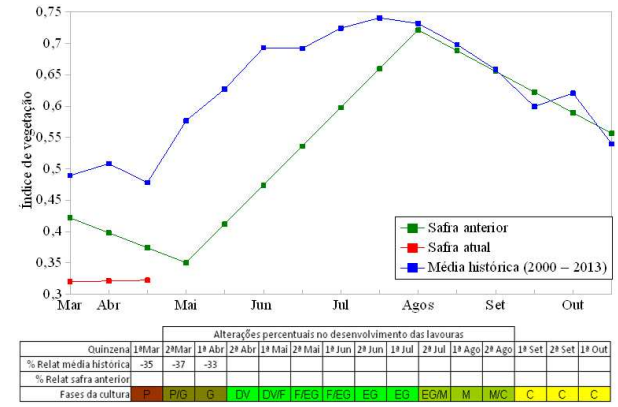


Gráfico 34- Quantificação de áreas agrícolas pelo valor do IV

Gráfico 35 – Evolução temporal do desenvolvimento das lavouras no Agreste de Sergipe.

Ponderação: O gráfico da quantificação de áreas mostra que a vegetação em geral responde acima da média histórica e também da safra do ano passado. Cálculo ponderado: 4,4% **acima** da média histórica e 11,5% **acima** da safra anterior.

Histórico: A linha da média histórica no gráfico da evolução temporal traça o perfil das culturas no Agreste do SE. Mostra que os cultivos de 2ª safra são semeados principalmente a partir de março. As fases de desenvolvimento vegetativo, floração e enchimento de grão seguem um longo período até agosto. As colheitas devem finalizar em agosto ou setembro.

Safra atual: A linha da safra atual no gráfico 35, mostra que neste ano a vegetação respondeu com baixos valores de IV até a 1ª quinzena de abril. Os dados das quinzenas seguintes não foram suficientes para traçar a continuidade da linha vermelha. Assim, não foi possível tirar conclusões sobre a safra atual a partir deste segmento do gráfico. Contudo, o cálculo ponderado com dados do gráfico 34 indica alto potencial de produtividade dos cultivos atuais.

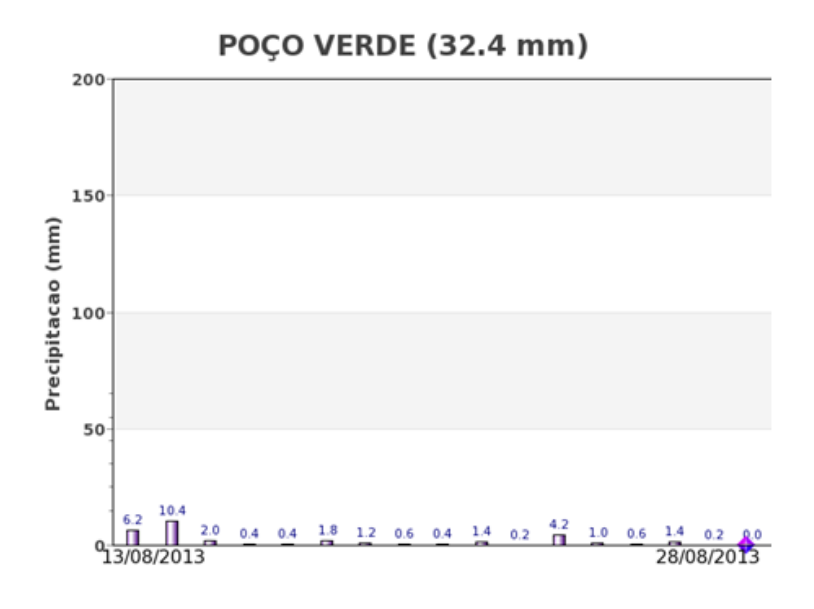


Gráfico 36 - Chuva acumulada diária em estação meteorológica do Agreste de SE.

A estação meteorológica de Poço Verde no oeste da região registrou relativamente baixos volumes de chuva no período monitorado. Esta situação poderá afetar o desenvolvimento das lavouras ainda em fases vulneráveis ao déficit hídrico.

5. Mapas e gráficos de dados climáticos

Os mapas abaixo mostram as condições climáticas que influenciaram o desenvolvimento das lavouras no período do monitoramento.

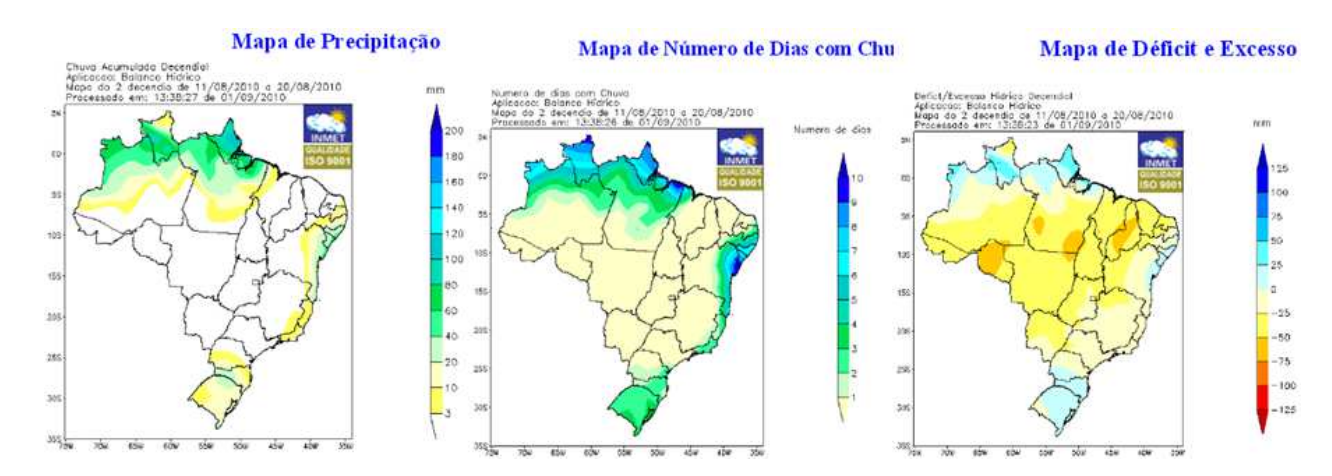


Figura 25 — Precipitação, nº de dias com chuva e déficit/excesso hídrico no período de 11 a 20 de agosto/2013.

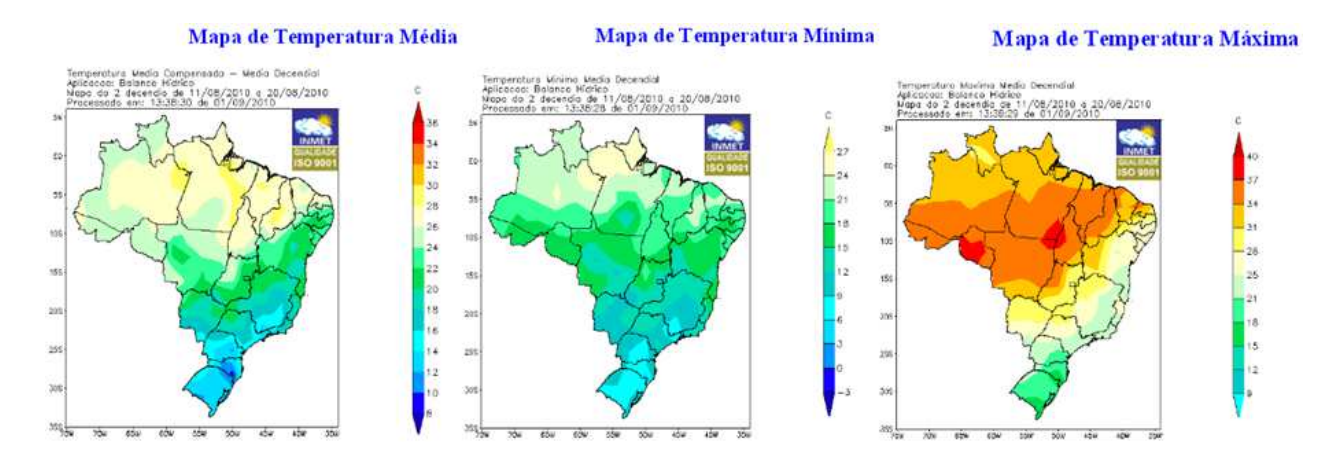


Figura 26 – Temperaturas média, mínima e máxima no período de 11 a 20 de agosto/2013.

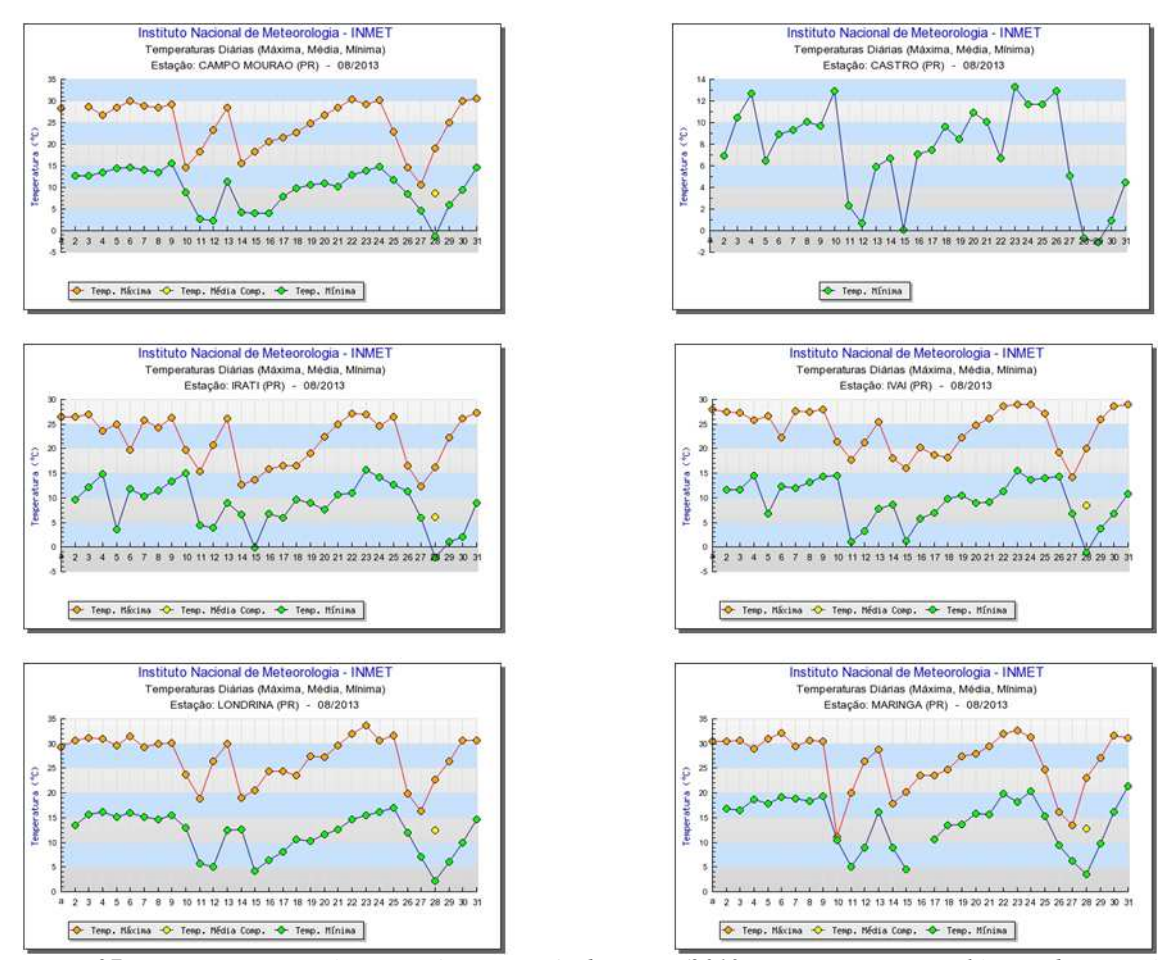


Figura 27 - Temperaturas máxima e mínima no mês de agosto/2013 em estações meteorológicas do Paraná.

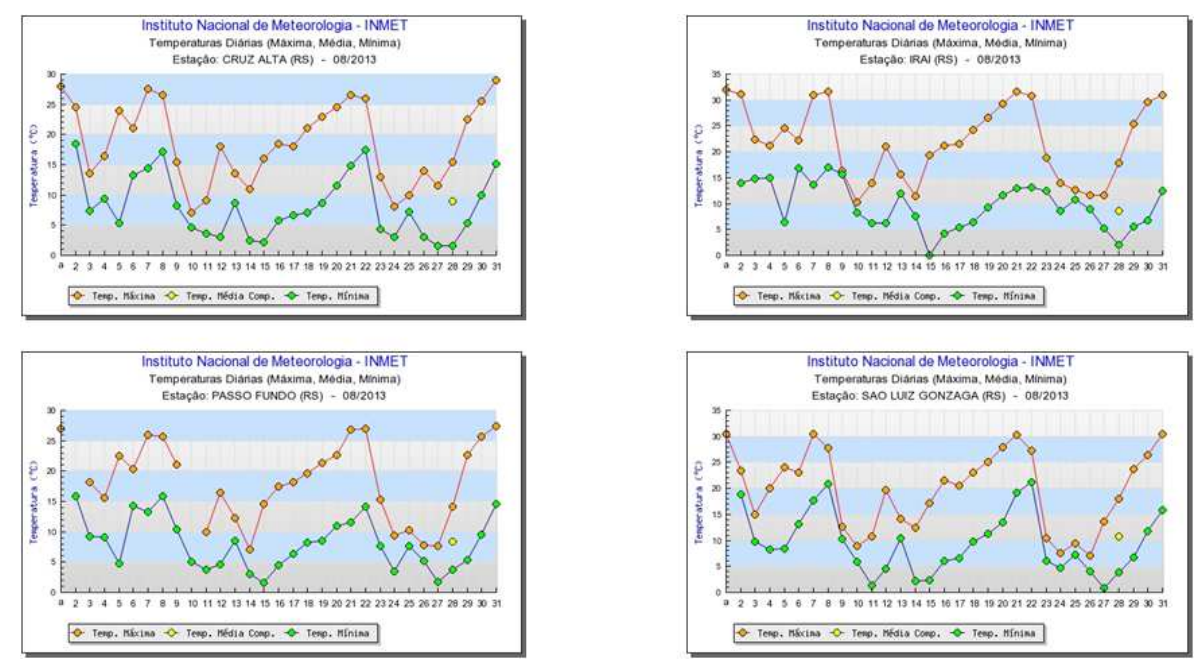


Figura 28 – Temperaturas máxima e mínima no mês de agosto/2013 em estações meteorológicas do RS.

O mapa a seguir e as respectivas informações sobre a previsão de probabilidade de chuvas para o Brasil foram extraídos do *Boletim de Prognóstico Climático* elaborado pelo INMET.



Figura 29 – Prognóstico trimestral de probabilidade de chuva (Ago/Set/Out / 2013).

A previsão por consenso¹ elaborada para o trimestre agosto a outubro de 2013 (ASO/2013) indicou a possibilidade de um regime deficiente de chuva para duas áreas do território nacional. A primeira localizada no noroeste da Região Norte, onde foi considerada uma distribuição de 25%, 35% e 40% de probabilidade de ocorrência de chuva nas categorias acima da normal, dentro da normal e abaixo da normal climatológica, respectivamente, e a segunda área abrangendo grande parte do centro-sul do País (Região Sul, sul do Mato Grosso do Sul, e o sudoeste e sul do Estado de São Paulo), onde a distribuição é de 20%, 35% e 45% de probabilidade de ocorrência de chuva nas categorias acima da normal, dentro da normal e abaixo da normal climatológica, respectivamente. Além disso, a previsão climática indicou uma tendência de chuva entre normal e ligeiramente acima da normal climatológica para uma área que abrange o leste da Região Norte (Amapá, Pará e Tocantins), nordeste do Mato Grosso e oeste do Maranhão, com distribuição de 35%, 40% e 25% de probabilidade de ocorrência de chuva nas categorias acima da normal, dentro da normal e abaixo da normalidade, respectivamente. Uma indicação semelhante de um regime previsto entre normal e ligeiramente acima da normal foi dada para o trecho desde o Recôncavo Baiano até Alagoas, com distribuição de 35%, 35% e 30% de probabilidade de ocorrência de chuva nas categorias acima da normal, dentro da normal e abaixo da normal climatológica, respectivamente.

Nota: A Previsão Climática gerada pelo CPTEC tem caráter experimental. A previsão foi baseada em modelos de Circulação Geral da Atmosfera (MCGA) e Circulação Geral Acoplado Oceano-Atmosfera (MCGOA) do INPE/CPTEC, nos modelos estocásticos rodados no Instituto Nacional de Meteorologia (INMET), no modelo ECHAM4.6 rodado pela Fundação de Meteorologia e Recursos Hídricos do Ceará (FUNCEME), e nos resultados dos modelos disponibilizados pelo International Research Institute for Climate and Society (IRI), National Center s for Environmental Predictions (NCEP), European Centre for Medium Range Weather Forecasting (ECMWF), Meteo-France e United Kingdom Meteorological Office (UKMO), bem como pelos centros produtores globais (GPCs) da Organização Meteorológica Mundial (OMM), além das análises das características climáticas globais observadas. Essa informação é disponibilizada gratuitamente ao público em geral, porém, nenhuma garantia implícita ou explícita sobre sua acurácia é dada pelo INPE/CPTEC. O uso das informações contidas nesse boletim é de completa responsabilidade do usuário. Este boletim é resultado da reunião de análise e previsão climática realizada pelo INPE/CPTEC, com participação de meteorologistas do Instituto Nacional de Meteorologia (INMET), da Fundação Cearense de Meteorologia e Recursos Hídricos (FUNCEME), Universidades e Centros Estaduais de Meteorologia.

¹ Previsão por consenso entre o CPTEC/INPE, INMET e FUNCEME com participação do CEMADEN e IAG/USP.

6. Conclusões

Devido a grande diversidade das condições climáticas, das práticas agrícolas e das aptidões dos solos no território nacional, constata-se muita variação dos períodos de plantio, dos padrões de desenvolvimento e também dos ciclos das culturas, entre as regiões.

No Rio Grande do Sul, as culturas de cobertura e também os cultivos de inverno, apresentam bom padrão de IV devido às condições climáticas favoráveis. As geadas no final de julho praticamente não afetaram as culturas de inverno plantadas principalmente em junho. Temperaturas muito baixas, com possibilidade de geadas, ocorreram em algumas regiões por volta do dia 15, 27 e 28 de agosto, (Figura 28). Talvez os plantios de cobertura podem ter sido parcialmente afetados pelas geadas, em alguns municípios, conforme indicado pela pequena queda do IV nos 2 últimos monitoramentos, que cobriram do dia 28 de julho a 28 de agosto/13, (veja gráfico 2). O potencial de rendimento agrícola ainda é bom.

Nas mesorregiões localizadas no sul e oeste do Paraná as chuvas contribuíram no desenvolvimento das lavouras de 2ª safra e de inverno e assim se mantiveram dentro da normalidade até final de julho. Até então os cultivos estavam em fases não vulneráveis aos efeitos das geadas no final de julho. Porém, agora em agosto as lavouras foram afetadas pelas geadas em meados do mês (Figura 27). No final de agosto também foram detectadas geadas em alguns municípios cujo reflexo sobre as lavouras serão identificados no próximo monitoramento. Nas demais regiões a situação foi um pouco diferente, as geadas que ocorreram com mais intensidade nos dias 24 e 25 de julho e também em agosto afetaram as lavouras, principalmente os cultivos de inverno que estavam em floração/frutificação. O café e pastagens também tiveram consideráveis penalizações. O milho safrinha não deverá ser muito afetado, exceto pela queda de qualidade devido ao alto percentual de grãos ardidos em decorrência do excesso de chuvas em junho. A falta de chuva em algumas regiões pode ampliar ainda mais a expectativa de queda do potencial de produtividade dos cultivos de inverno em fase de desenvolvimento vegetativo. As principais regiões penalizadas pela geada, mostradas nos mapas, estão em cores amarelo, laranja e marrom, que estão geralmente nos municípios mais expressivos em culturas de inverno.

Chuvas escassas desde fevereiro penalizaram bastante o desenvolvimento da vegetação de modo geral, no Nordeste brasileiro. Porém, em maio, junho, julho e até mesmo agora, no início de agosto, os índices pluviométricos foram razoáveis, influenciando positivamente o desenvolvimento das lavouras nas mesorregiões do Nordeste Baiano, do Agreste e do Sertão de Sergipe até o monitoramento anterior. No Sertão Sergipano a situação mudou neste último monitoramento, a falta de chuva provocou queda no potencial de produtividade agrícola.

7. Fontes de dados e de informações

COMPANHIA NACIONAL DE ABASTECIMENTO. **Dados de safras agrícolas e calendário de cultivos.** Disponível em www.conab.gov.br. Acesso em setembro de 2013 (10º levantamento).

INSTITUTO BRASILEIRO DE GEOGRAFIA E ESTATÍSTICA (IBGE). **Produção Agrícola Municipal e mapa base dos municípios**. Disponíveis em www.ibge.gov.b. Acesso em junho de 2013.

INSTITUTO NACIONAL DE METEOROLOGIA (INMET). **Dados meteorológicos**. Disponível em www.inmet.gov.br. Acesso em setembro de 2013.

UNITED STATES DEPARTMENT OF AGRICULTURE. **Projeto GLAM**: Monitoramento Agrícola Global, imagens e gráficos de anomalias do desenvolvimento das lavouras. Disponíveis em http://pekko.geog.umd.edu/usda/test. Acesso em setembro de 2013.

SECRETARIA DA AGRICULTURA E DO ABASTECIMENTO DO ESTADO DO PARANÁ / DERAL – **Dados agrícolas do PR**. Disponíveis em http://www.agricultura.pr.gov.br Acesso em setembro de 2013.

Nota técnica - Fundamentos do monitoramento com base em imagens de satélites

O monitoramento das lavouras utilizando imagens de satélites fundamenta-se no comportamento natural das culturas em relação à luz solar incidente sobre a mesma. Toda planta saudável e em bom estado de desenvolvimento, absorve grande parcela da luz *visível* como energia para o processo da fotossíntese. Retida no interior das folhas, apenas uma pequena parcela dessa faixa do espectro de luz é refletida pela vegetação. No caso dos cereais, a fotossíntese é intensa em plantas saudáveis durante os períodos de desenvolvimento vegetativo, floração/formação de espigas e enchimento de grãos.

Nessas mesmas condições, a planta se comporta de maneira oposta em relação aos raios infravermelhos provenientes do sol: reflete-os fortemente! Quanto mais saudável e melhor o estado de desenvolvimento da cultura, maior será a diferença entre as intensidades da luz refletida pela planta, nas duas faixas mencionadas.

O efeito deste comportamento da planta, também conhecido como resposta espectral, é captado pelos sensores dos satélites, através das diferentes intensidades destas duas faixas do espectro de luz. O sensor decompõe a luz que chega até ele e gera uma imagem para cada uma das faixas do espectro. Por meio de processamento digital destas duas imagens, obtém-se uma terceira imagem denominada Índice de Vegetação (IV). O resultado registrado nesta terceira imagem retrata o estado de saúde da planta. Quanto maior for o valor do IV mais promissora será a expectativa do potencial de produtividade das lavouras.

Pela possibilidade de se repetir esse processo frequentemente, este modelo é adequado para avaliar a expectativa de rendimento de culturas monitorando-as continuamente nos períodos das safras.

O Índice de Vegetação (IV) utilizado neste documento é obtido do Monitoramento Agrícola Global (USDA / NASA / UMD – projeto GLAM), disponível na internet. Para o cálculo do IV são utilizadas imagens MODIS coletadas diariamente para geração de composições a cada 16 dias. Entre as vantagens em se utilizar o monitoramento realizado pelo GLAM estão: a) a abrangência espacial – cobre todos os países produtores, sendo que, no caso do Brasil, permite detalhamento em nível de mesorregião, o que permite monitorar todas as áreas das culturas de interesse; b) a filtragem das áreas agrícolas - pelo uso de máscaras de cultivo, o monitoramento cobre somente nas áreas de efetivo uso agrícola; c) a alta frequência de imageamento dos satélites, disponibilizando informações de forma continuada e quase em tempo real; d) o fato dos mapas e gráficos disponíveis retratarem os reais efeitos das condições climáticas e sanitárias sobre as lavouras; e) a não interferência de caráter pessoal nas informações, evitando influências de interesses particulares; f) a possibilidade de avaliação das anomalias da safra atual em relação à média histórica e à safras anteriores

Nota: Existem vários métodos para cálculo de índices de vegetação. Para o monitoramento em pauta foi utilizado o Índice de Vegetação por Diferença Normalizada (IVDN ou NDVI - sigla em inglês que aparece em gráficos deste boletim).

Conab/ Suinf - Gerência de Geotecnologia - Geote

SGAS 901 Bloco "A" Lote 69, Ed. Conab - Asa Sul Cep: 70.390-010 - Brasília-DF Fone: (61) 3312.6280 - 6260

Inmet - Laboratório de Análise e Tratamento de Imagens de Satélites - Latis

Eixo Monumental, Via S1 Campus do INMET, Edificio Sampaio Ferraz Cep: 70630-900 - Brasilia – DF Fone: (061) 2102 4880







